



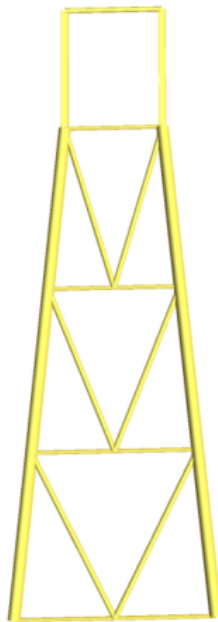
NTNU

Kunnskap for en bedre verden

Analyse av en plan forskyvelig ramme med matrisemetoden

TMR4167 Marin Teknikk - Konstruksjoner

Kandidatnummer: 10032, 10068, 10089



November, 2021

Forord

Marin konstruksjonsteknikk innebærer dimensjonering og utforming av ulike konstruksjoner som skal operere ved marine miljø. I faget TMR4167 Marin Teknikk - konstruksjoner, har vi lært oss tilnærmingsmetoder for å kunne beregne deformasjon, rotasjon og momenter til konstruksjoner. I denne rapporten skal vi anvende matrisemetoden. Det er en metode som er godt egnet til når man skal regne bøyespenninger og deformasjoner på enkle konstruksjoner for hånd. I større system blir som regel antall ligninger og ukjente svært høyt slik at det er hensiktsmessig å bruke numeriske verktøy som setter ligningene i system.

Vi skal ved hjelp av Python ta inn en plan, forskyvelig ramme med påsatte laster som skal returnere tilhørende momenter, rotasjoner og bøyespenninger i konstruksjonen. Et velykket program skal være nesten like korrekt som et eksisterende dataprogram for rammeanalyse av marine konstruksjoner som brukes av ingeniørselskaper, men man har lært at det å stole blindt på dataprogram kan få fatale konsekvenser. Vi skal derfor kvalitetsteste dataprogrammet med bruk av håndberegninger der vi bruker deformasjonsmetoden, samt DNV GL'S analyseprogram Nauticus 3D-Beam.

Prosjektet har gitt oss en dypere forståelse av matrisemetoden, samt hvordan vi kan bruke dataprogram for å analysere større system med flere ligninger. Arbeidsmengden har vært stor, og det har blitt brukt mye tid på feilsøking og testing for å få Python-programmet til å fungere så godt som mulig. Gruppen har hatt et godt samarbeid og en felles motivasjon for å ferdigstille en innholdsrik og god rapport.

Vi vil rette en stor takk til vår professor, Jørgen Amdahl som har lært oss den nødvendige kunnskapen for å kunne gjennomføre et slikt prosjekt.

Sammendrag

Denne rapporten er en fremstilling av resultatet av oppgaven gitt i emnet "TMR4167 Marin Teknikk- Konstruksjoner". Hensikten med oppgaven har vært å få økt forståelse for hvordan dataverktøy kan benyttes til daglige ingeniørberegninger samt oppbyggingen av disse.

Prosjektet har vært å programmere et slikt dataverktøy i Python som kan utføre en rammeanalyse på et todimensjonalt system. Programmet skulle bruke matrisemetoden som er en gunstig metode for store systemer der man vil regne på hele systemet som helhet, i motsetning til deformasjonsmetoden som tar for seg element for element. For å kontrollere at programmet regner riktig har vi benyttet programmet Nauticus®3D-Beam samt håndberegninger på enkle rammer.

Hensikten med oppgaven var å benytte seg av Python-programmet for å gjennom en iterasjonssprosess komme frem til tverrsnittsdata for konstruksjonen. Tverrsnittene skulle være dimensjonert slik at den mest belastede bjelken lå på 30-70% av flytspenningen. Selve jacket'en skulle bestå av av stål, og ha tre forskjellige rørtverrsnitt for henholdsvis bein, horisontalstag og diagonalstag. Dekkskonstruksjonen skulle bestå av aluminium og ha to forskjellige I-profil for henholdsvis søyler og tverbjelke. Itereringen gjorde vi i 3D-beam siden vi brukte mye tid på å få programmet til å gå så bra som mulig, og bøyespenningene ikke blir korrekt regnet i vårt program.

Innhold

Figurer	vi
Tabeller	vi
1 Innledning	1
1.1 Oppgaven	1
1.2 Konstruksjonsdata	1
1.3 Forutsetninger og antagelser	1
2 Fremgangsmåte	2
2.1 Matrisemetoden	2
2.2 Diskretisering	2
2.3 Systemstivhetsmatrise	3
2.3.1 Lokal stivhetsmatrise	3
2.3.2 Global stivhetsmatrise	3
2.4 Lastvektor	4
2.4.1 Fastinnspenningsmomenter	5
2.5 Randbetingelser	5
2.6 Ligningsløsning	5
2.7 Bøyespenninger	5
2.8 Dimensjonering	6
2.9 3D-Beam	6
3 Python	7
3.1 Python-funksjoner	7
3.1.1 main	7
3.1.2 structure_visualization	7
3.1.3 Element (klasse)	7
3.1.4 lesinput	7
3.1.5 ant_elementer	7
3.1.6 add_elements	7
3.1.7 areal, ror_areal, ipe_areal	7
3.1.8 index_profildata	8
3.1.9 andre_arealmoment, aam_ror_profil, aam_I_profil	8
3.1.10 lengder	8

3.1.11	global_rot	8
3.1.12	lokal_k	8
3.1.13	fastinnspenningskrefter	8
3.1.14	lastvektor_funk	8
3.1.15	system_stivhetsmatrise, legg_til_K	8
3.1.16	randbetingelser	9
3.1.17	deformasjoner	9
3.1.18	lokal_deform	9
3.1.19	el_krefter	9
3.1.20	midt_moment	9
3.1.21	maks_boyespenning	9
3.1.22	print_funksjonene	9
3.2	Input fil	9
3.2.1	Knutepunkt	9
3.2.2	Element	10
3.2.3	Last	10
3.2.4	Profildata	10
3.2.5	Flytspenning	10
4	Resultater	11
4.1	Kontroll av program	11
4.2	Testkonstruksjon 1	11
4.2.1	Testkonstruksjon 2	12
4.3	Valg av tverrsnittsprfil	14
4.4	Resultater fra Python-programmet	15
4.4.1	Moment	15
4.4.2	Skjærkraft	18
4.4.3	Aksialkraft	21
4.4.4	Forskyvninger og rotasjoner	24
5	Diskusjon	26
6	Konklusjon	27
	Referanseliste	28
	Appendix	29

A	Python-kode	29
A.1	main.py	29
A.2	class Element	30
A.3	ant_elementer.py	31
A.4	add_elements	31
A.5	les_input.py	32
A.6	areal.py	33
A.7	andre_arealmoment.py	34
A.8	lengder.py	35
A.9	dimensjoner_fordeltlast.py	35
A.10	index_profildata.py	36
A.11	fastinnspenningskrefter.py	36
A.12	lastvektor.py	38
A.13	lokal_k.py	38
A.14	system_stivhetsmatrise.py	39
A.15	transformasjon.py	40
A.16	deformasjoner.py	40
A.17	randbetingelser.py	41
A.18	el_krefter.py	41
A.19	midtmoment.py	42
A.20	maks_boyespenning.py	43
A.21	printfunksjoner.py	44
A.22	structure_visualization.py	45
B	Input-filer	47
B.1	input.txt	47
B.2	inputforklaring.txt	47
C	Resultatfil	49
D	Håndberegninger	51
D.1	Testkonstruksjon 1 - fast innspent bjelke	51
D.2	Testkonstruksjon 2 - portalramme	55
E	Diagrammer	60
E.1	Momentdiagram	60
E.2	Skjærkraftdiagram	61
E.3	Aksialkraftdiagram	62
E.4	Initialramme Python visualisering	63

E.5	Deformert ramme Python visualisering	64
F	Eksempelramme laster visualisert	65

Figurer

1	Diskretisering	2
2	Eksempelramme	4
3	Testkonstruksjonen for den første håndberegningen	11
4	Momentdiagram: 3D-Beam	12
5	Momentdiagram: Håndberegninger	12
6	Testkonstruksjonen for den andre håndberegningen	12
7	Momentdiagram: 3D-Beam	13
8	Momentdiagram: Håndberegninger	13
9	Gruppering av elementer for konstruksjonen	14
10	Momentdiagram basert på Pythonresultat	17
11	Momentdiagram fra 3D-Beam	18
12	Skjærtdiagram basert på Pythonresultat	20
13	Skjærkraft fra 3D-Beam	21
14	Aksialkraftdiagram basert på Pythonresultat	23
15	Aksialkraftdiagram fra 3D-Beam	24
16	ramme før deformasjon	25
17	ramme deformert	25
18	Momentdiagram fra Python-beregninger	60
19	Skjærkraftdiagram fra Python-beregninger	61
20	Aksialkraftdiagram fra Python-beregninger	62
21	Initialramme Python visualisering	63
22	Deformert ramme Python visualisering	64
23	Eksempelramme laster visualisert	66

Tabeller

1	Tabell over mål på konstruksjonen. For å se hvordan kreftene virker se Appendix 23	1
2	Konnektivitetsmatrise	3
3	Konnektivitetsmatrise eksempelramme	4
4	Verdier for momentdiagram for bjelke [3]	12
5	Verdier for momentdiagram for portalramme [6]	13

6	Verdier for skjærkraft for portalramme [6]	13
7	Verdier for aksialkraft for portalramme [6]	14
8	Tverrsnittsdimensjoner for dekkonstruksjonen	15
9	Tverrsnittsdimensjoner for jacketen	15
10	Den mest belasta bjelken i hver gruppe av elementer	15
11	Sammenligning av momenter fra Python og 3D-beam	16
12	Gjennomsnittsverdier for avviket fra tabell 11 for momentverdier	16
13	Sammenligning av skjærkrefter fra Python og 3D-beam	19
14	Gjennomsnittsverdier for avviket fra tabell 13 for skjærkraft	19
15	Sammenligning av aksialkrefter fra Python og 3D-beam	22
16	Sammenligning av forskyvninger og rotasjoner fra Python og 3D-beam	25
17	Gjennomsnittsverdier for avviket fra tabell 16 for forskyvninger og rotasjoner	25

1 Innledning

I denne rapporten blir det tatt for seg oppbygning og metoder bak et Python-program som skal være i stand til å analysere en plan forskyvelig ramme ved hjelp av matrisemetoden. For å kontrollere resultatene vil vi foreta håndberegninger på en enkel bjelke og en portalramme. Programmet 3D-Beam har også blitt brukt for å forenkle iterasjonsprosessen rundt dimensjoneringen.

1.1 Oppgaven

Oppgaven går ut på å lage et program i Python som gjør at man kan analysere en vilkårlig konstruksjon med matrisemetoden. For den gitte oppgaven er konstruksjonen vi skal analysere en dekkskonstruksjon som står på en jacket.

Konstruksjonen består av stål og aluminium for henholdsvis jacket og dekkskonstruksjon. Jacket'en består av rør med ulike diametere, mens dekkskonstruksjonen består av IPE bjelker. Det regnes samme flytspenning for begge material og kapasitetskrav for knekking antas å være oppfylt uavhengig av de valgte tverrsnittsdimensjonene.

1.2 Konstruksjonsdata

Konstruksjonsdata - Verdier gitt av oppgaven	
Spenningselementer	[MPa]
E-Modul Stål	210 000
E-Modul Aluminium	70 000
Flytspenning σ_y	300
Lengder	[m]
L_1	25
L_2	18
L_3	18
Punktlaster	[kN]
P_1	4000
P_2	1000
Jevnt fordelte laster - proporsjonal med diameteren	[kN/m]
D = 1,5m: q_1	540
D = 1,5m: q_2	180

Table 1: Tabell over mål på konstruksjonen. For å se hvordan kreftene virker se Appendix 23

1.3 Forutsetninger og antagelser

Vi har gjort noen antagelser for oppgaven for å kunne benytte oss av superposisjonsprinsippet.

- Lineært elastisk materiale
- Små deformasjoner
- Alle tverrsnitt bøyes om sin sterke akse
- Elementenes kapasitetskrav for knekking er oppfylt
- Egenvekten til konstruksjonen neglisjeres i beregningene
- Summen av alle moment i et knutepunkt er null

2 Fremgangsmåte

2.1 Matrisemetoden

Matrisemetoden er basert på deformasjonsmetoden, men i motsetning til deformasjonsmetoden tar matrisemetoden for seg systemet som helhet i stedet for ett og ett element. Dette gjør at matrisemetoden egner seg bedre for å løse store lineære ligningssystemer, gitt at man får litt regnehjelp av en datamaskin. I matrisemetoden etableres det en systemrelasjon bestående av den globale stivhetsmatrisen \mathbf{K} , rotasjonsvektor \mathbf{r} og lastvektor \mathbf{R}

$$\mathbf{K}\mathbf{r} = \mathbf{R} \quad (1)$$

For mindre systemer vil det la seg gjøre å utføre håndberegninger med matrisemetoden, men for større system vil antall ligninger og ukjente bli tungvindt og krevende for hånd. En datamaskin derimot har ikke problemer med å utføre beregninger med flere ligninger og ukjente så lenge den får beskjed om hvordan den skal gå frem. Derfor er det hensiktsmessig å skrive et program som effektivt kan lese og organisere informasjon.

For å gå gjennom teoridelen av matrisemetoden benyttes kompendiet C.M Larsen, Kåre Syvertsen og Jørgen Amdahl 2010 [Larsen et al. 2010].

2.2 Diskretisering

Diskretisering går ut på å gjøre en oppdeling av konstruksjonen i et endelig antall elementer. Forbindelser mellom elementer kalles knutepunkter. Det er hensiktsmessig å la elementer og knutepunkter følge den naturlige oppbyggingen av konstruksjonen. Under vil man se hvordan vi har diskretisert vår ramme.

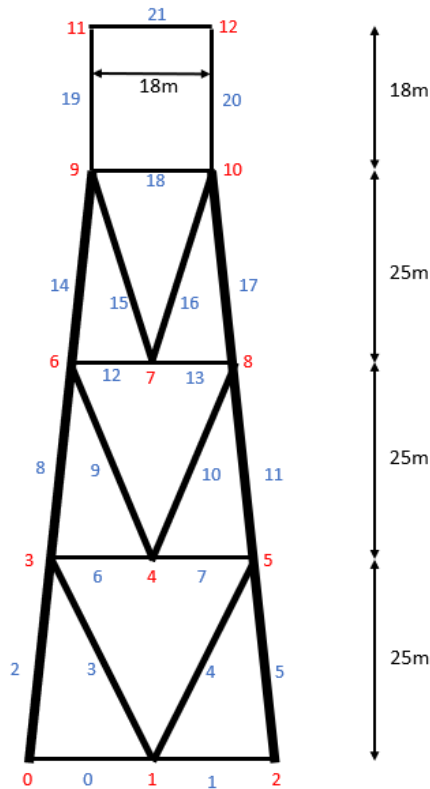


Figure 1: Diskretisering

Etter man har diskretisert konstruksjon kan det være fordelaktig å sette opp en sammenheng mellom de lokale og globale frihetsgradene i det som i elementmetoden kalles en konnektivitetsmatrise. Når man har satt opp en slik systematisk sammenheng er det et godt grunnlag for stivhetsmatrisen.

Element nr	0	1	2	3	4	5	6	7	8	9	10	11	12	13	14	15	16	17	18	19	20	21
Lokal Frihetsgrad 1	0	1	0	1	1	2	3	4	3	4	4	5	6	7	6	7	7	8	9	9	10	11
Lokal Frihetsgrad 2	1	2	3	3	5	5	4	5	6	6	8	8	7	8	9	9	10	10	11	12	12	12

Table 2: Konnektivitetsmatrise

2.3 Systemstivhetsmatrise

2.3.1 Lokal stivhetsmatrise

Før man kan sette opp systemstivhetsmatrisen må man ha stivhetsmatrisen til hvert enkelt element, den såkalte lokale stivhetsmatrisen. Metoden er lignende til deformasjonsmetoden, da stivhetsmatrisen til element i skrives på formen:

$$k_i = \begin{bmatrix} k_{11} & k_{12} \\ k_{21} & k_{22} \end{bmatrix} = \frac{E_i I_i}{L_i} \begin{bmatrix} 4 & 2 \\ 2 & 4 \end{bmatrix} \quad (2)$$

Der k_{11} og k_{22} er stivhetsleddene for ende 1 og 2, mens k_{12} og k_{21} er koblingsledd for moment i en ende og rotasjon i den andre. L_i er bjelkens lengde, E_i er bjelkens elastitetsmodul og I_i er bjelkens arealtreghetsmoment. Elementstivhetsmatrisen varierer kun med verdiene fra L, E og I. Ved 3 frihetsgrader per knutepunkt, vil dermed den lokale stivhetsmatrisen bli en 6x6-matrise.

2.3.2 Global stivhetsmatrise

Da den lokale stivhetsmatrisen kun gjelder per enkelt element vil de ikke tillate oss å regne på hele systemet som en helhet. Når man har funnet alle lokale stivhetsmatriser setter man opp systemstivhetsmatrisen, som også kalles den globale stivhetsmatrisen. Før dette er det også viktig å transformere den lokale stivhetsmatrisen til det globale koordinatsystemet.

Systemstivhetsmatrisen sin størrelse bestemmes av antall knutepunkt og frihetsgrader. I vårt tilfelle har konstruksjonen 13 knutepunkter med tre frihetsgrader hver som vil resultere i en 39x39 matrise. Hvert enkelt elementstivhetsmatrise adderes inn i systemstivhetsmatrisen ved hjelp av konnektivitetsmatrisen. Fordi slike systemstivhetsmatriser blir store og vanskelig å regne for hånd, er de gunstige for datamaskiner da man som nevnt kan regne på hele systemet som en helhet.

Under er det hentet et eksempel fra kapittel 8.7 i Kompendium for Marin Teknikk 2 som viser sammenhengene mellom elementstivhetsmatrise, konnektivitetsmatrise og systemstivhetsmatrise.

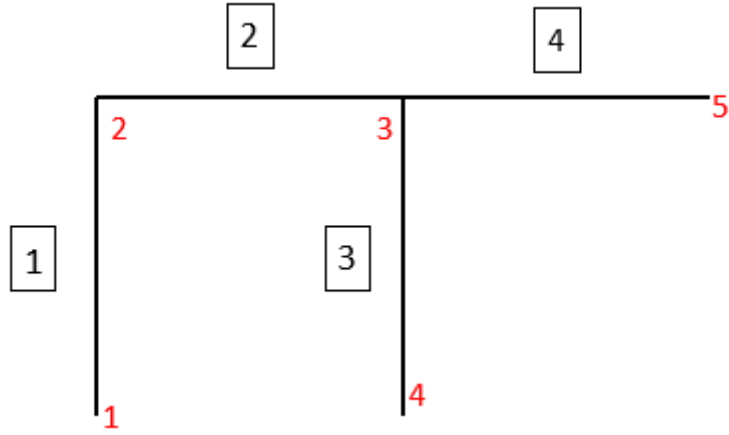


Figure 2: Eksempelramme

Etter man har diskretisert rammen kan man sette opp konnektivitetsmatrisen som er sammenhengende mellom de lokale og globale frihetsgradene. Ved hjelp av denne kan man sette opp systemstivhetsmatrisen.

Element nr.	1	2	3	4
Lokal Frihetsgrad 1	1	2	3	3
Lokal Frihetsgrad 2	2	3	4	5

Table 3: Konnektivitetsmatrise eksempelramme

For å sette opp systemstivhetsmatrisen adderes elementmatrisene inn i den globale stivhetsmatrisen \mathbf{K} . Element (1,1) i den lokale stivhetsmatrisen til bjelkeelement 2, adderes til element (2,2) i den globale stivhetsmatrisen.

$$K = \begin{bmatrix} (k_{11})_1 & (k_{12})_1 & 0 & 0 & 0 \\ (k_{21})_1 & (k_{22})_1 + (k_{11})_2 & (k_{12})_2 & 0 & 0 \\ 0 & (k_{21})_2 & (k_{22})_2 + (k_{11})_3 + (k_{11})_4 & (k_{12})_3 & (k_{12})_4 \\ 0 & 0 & (k_{21})_3 & (k_{22})_3 & 0 \\ 0 & 0 & (k_{21})_4 & 0 & (k_{22})_4 \end{bmatrix}$$

2.4 Lastvektor

Etter å ha etbalert den globale stivhetsmatrisen mangler man bare lastvektoren R for å kunne løse systemrelasjonen

$$Kr = R. \quad (3)$$

Lastvektoren forteller hvilke ytre belastninger som påvirker konstruksjonen, og består av både konsentrerte knutepunktskrefter og momenter i knutepunktene, og knutepunktskrefter og moment som skyldes av laster i felt.

Dette finner vi ved å gå gjennom hver last, og regne ut fastinnspenningskreftene og momentene for hvert element og legge til dette med negativt fortegn. I tillegg summerer man inn punktkreftene som fungerer i knutepunktene direkte inn i lastvektoren. Det som er viktig er at fastinnspenningskreftene må transformeres til det globale koordinatsystemet før de legges inn i lastvektoren.

2.4.1 Fastinnspenningsmomenter

Fastinnspenningsmomenter er momenter forårsaket av ytre belastninger som virker på hver enkelt bjelke når alle rotasjonsfrihetsgradene er antatt fastholdt. Konsekvensen av at man ser på alle rotasjonsfrihetsgrader som fastholdt er at fastinnspenningsmomentene gir en momentfordeling som ikke tar hensyn til samvirke mellom elementene. Summen av fastinnspenningsmoment for elementer med felles knutepunkt kalles fastholdningsmomentet og angir momentet som kreves for å fastholde mot rotasjon i knutepunktet. For å beregne fastinnspenningsmoment benyttes tabell 8.3 gitt i kompendiet for fastinnspenningsmomenter under ulike lasttilfeller [Larsen et al. 2010]. I vårt tilfelle er det bare benyttet formlene for lineært fordelte laster.

Første tilfelle er om lasten er lineært stigende fra a til b, så vil en regne moment i henholdsvis ende a og b.

$$m_{ab} = -\frac{1}{30}pl^2 \quad m_{ba} = \frac{1}{20}pl^2 \quad (4)$$

Andre tilfelle er lasten lineært avtagende fra a til b.

$$m_{ab} = -\frac{1}{20}pl^2 \quad m_{ba} = \frac{1}{30}pl^2 \quad (5)$$

Etter beregning av fastinnspenningsmomenter vil man finne fastholdningsmomentet for hvert knutepunkt, for så finne bidraget for hvert knutepunkt til lastvektoren. Dette gjør man ved å legge sammen fastholdningsmoment og knutepunktslast.

2.5 Randbetingelser

For å ta høyde for at noen av punktene er fast innspenst må vi endre system stivhetsmatrisen. Randbetingelsene vi innfører er en veldig høy fjærstivhetskonstant. Denne legger vi til på diagonalen i stivhetsmatrisen for alle frihetsgradene i punkter som er fast innspenst. Dermed vil forskyvningene og rotsasjonen gå mot null, desto høyere fjærstivhet man legger til.

2.6 Ligningsløsning

Etter å etablert systemrelasjonen og funnet både stivhetsmatrise og lastvektor, vil neste skritt være å finne de ukjente frihetsgradene. Regner man manuelt vil man på dette steget innføre noen randbetingelser for å stryke noen rader og kolonner i matrisen.

Siden vi skal regne på datamaskin har vi innført en rotasjonsfjær i alle knutepunkt langs diagonalen og satt den til 0 der det ikke er fast innspenning. I punktene der det er fastholding mot rotasjon innfører man en fjærstivhet på f.eks 10^6 ganger bøyestivheten.

For å finne kreftene i hvert element benyttes de lokale stivhetsmatrisene og lokale knutepunktsforskyvninger:

$$\mathbf{S}_i = \mathbf{k}_i \mathbf{v}_i + \mathbf{S} \quad (6)$$

der $\mathbf{k}_i \mathbf{v}_i$ er krefter fra forskyvning og \mathbf{S} er fastinnspenningskrefter.[Larsen et al. 2010]

2.7 Bøyespenninger

Bøyespenningene er avgjørende for dimensjoneringen da det er utgangspunktet for å beregne flytspenningene. I oppgaven er det gitt at bøyespenningsnivået for den mest belastede bjelken skal ligge mellom 30%-70% av flytspenningen. For å beregne bøyespenningen bruker vi endemomentene og midtmomentene for hver bjelke.

$$\sigma = \frac{M}{I} \cdot z_{max} \quad (7)$$

σ er bøyespenningen, M er momentet og z er avstanden fra nøytralaksen i tverrsnittet til ytterste punkt.

2.8 Dimensjonering

For vår konstruksjon har vi tolket det som at jacket'en består av tre forskjellige rørprofil for henholdsvis bein horisontalstag og diagonalstag. Og at dekkskonstruksjonen vil ha to ulike I-profil for henholdsvis søyler og tverrbjelke. Jacket består av stål og dekkskonstruksjonen består av aluminium, men de har begge en flytspenning på 300MPa. Det er gitt i oppgaven at bøyespenningsnivået til den mest belastede bjelken skal ligge på 30%-70% av flytspenningen. For å dimensjonere dette riktig skal det gjennomføres en iterasjonsprosess i python-programmet og litt hjelp fra 3D-Beam.

2.9 3D-Beam

3D-Beam er en software utviklet av DNV GL som blir brukt for å modellere og analysere bjelkekonstruksjoner i 3D. I denne oppgaven har 3D-Beam blitt brukt for å analysere hovedkonstruksjonen og for å velge endelige tverrsnittsdimensjoner ved å gjennomføre iterasjoner. I tillegg har vi sammenlignet resultate fra håndberegninger og pythonprogrammet ved hjelp av 3D-beam. Ved å sammenligne moment, skjærkraft, bøyespenning og rotasjon kunne vi få en oversikt over hvor nøyaktig vår kode i python var.

3 Python

3.1 Python-funksjoner

Her kommer vi til å gå kort gjennom python-koden, noen av funksjonene forklarer vi i samme seksjoen, siden disse gjerne er underfunksjoner av hverandre. Koden tar utgangspunkt i koden utdelt fra NTNU 2020. Koden er også lagt ved i Appendix A.

3.1.1 main

Hovedfunksjonen i programmet, denne som kjører de andre funksjonene og lagrer eventuelle verdier for senere funksjoner.

3.1.2 structure_visualization

Funksjon for å plote og visualisere rammen og deformasjonene. Denne koden fulgte med koden fra IMT, og vi har ikke gjort noe med denne.

3.1.3 Element (klasse)

Et objekt av denne klassen tilsvarer et element. Klassen består av variabler som er spesifikt koblet til elementet. Dimensjoner som kommer fra input filen, men også lokale krefter som regnes ut i programmet lagres i elementets klasse.

3.1.4 lesinput

Leser en textfil på formen beskrevet under Inputfil. Dataene lagres i ulike todimensjonale lister. Returnerer antall knutepunkt, knutepunktsdata, antall elementer, elementdata, antall laster, lastdata, antall profiler og profildata.

3.1.5 ant_elementer

Itererer gjennom alle elementene og lager et objekt av klassen Element for hvert bjelkeelement. Returnerer en liste med alle element-objektene i samme rekkefølge som elementnummereringen.

3.1.6 add_elements

Legger til dataen om hvert element i riktig element-objekt. Både dimensjoner fra inputfilen, men bruker også andre funksjoner som areal-funksjonen for å legge til dataen man trenger.

3.1.7 areal, ror_areal, ipe_areal

areal: Sjekker om profilet er ror- eller ipe-profil og bruker tilsvarende subrutine. Returnerer elementets areal

ror_areal og *ipe_areal*: Regner ut og returnerer tverrsnitts-arealet på profilet.

3.1.8 index_profildata

Tar inn valgt element og listen med profiler og itererer gjennom profilene for å matche elementets profiltype og riktig profil. Returnerer indexen til profilet i profil-listen.

3.1.9 andre_arealmoment, aam_ror_profil, aam_I_profil

andre_arealmoment: Tar inn lister med alle elementene og profilene, finner passende profildata ved å bruke en subrutine, *index_profildata*. Sjekker deretter om profilet er ipe- eller ror-profil og bruker tilsvarende subrutine. Returnerer en todimensjonal liste med andre arealmoment og avstand til arealsenter for hvert element.

aam_ror_profil og *aam_I_profil*: Regner ut andre arealmoment.

3.1.10 lengder

Regner ut lengden på alle elementene ved bruk av koordinatene til elementets punkter. Returnerer liste med alle lengdene.

3.1.11 global_rot

Bruker koordinatene på punktene til elementet for å regne på vinkelen til elementet i forhold til globalt koordinatsystem. Bruker så vinkelen til å lage 6x6-transformasjonsmatrisen til elementet og returnerer denne.

3.1.12 lokal_k

Tar inn elastisitetsmodul, areal, andre arealmoment og lengden til et elemet. Funksjonen regner ut, lager og returnerer elementes 6x6-stivhetsmatrise.

3.1.13 fastinnspenningskrefter

Tar inn listen med laster og listen med element-objekter. Funksjonen itererer gjennom alle lastene, sjekker om det er en punktlast eller fordelt last, kobler lasten til riktig element og regner ut fastinnspennings-moment og skjærkraft for begge endene. Legger så til listen med lokale fastinnspenningskrefter (fik) til elementets fik-variabel.

3.1.14 lastvektor_funk

Tar inn antall punkter og listen med element-objekter. Itererer gjennom alle elementene henter ut elementets transformasjonsmatrise og fastinnspenningsvektor og prikker disse for å få den globale fastinnspenningsvektoren. Legger så til denne med negativt fortegn inn i den globale lastvektoren, etter å ha regnet ut punktenes globale index. Returner den globale lastvektoren.

3.1.15 system_stivhetsmatrise, legg_til_K

system_stivhetsmatrise: Lager en kvadratisk matrise med tre ganger antall knutepunkter som størrelsen. Itererer gjennom elementene, og henter ut elementets globalt-roterte stivhetsmatrise. Bruker så subrutinen; *legg_til_K* for å legge hvert element på riktig plass i systemets stivhetsmatrise. Returnerer systemets stivhetsmatrise, K.

3.1.16 randbetingelser

Tar inn punkt-listen, system stivhetsmatrisen og lastvektoren og itererer gjennom alle punktene. Sjekker om punktet er fast innspent og adderer i så fall inn en fjærkraft på $10e8$ for gjøre deformasjonene tilnærmet lik 0. Setter også lastvektoren lik 0 i disse punktene. Returnerer deretter de oppdaterte versjonene av system stivhetsmatrisen og lastvektoren.

3.1.17 deformasjoner

Tar inn system stivhetsmatrisen og den globale lastvektoren, og prikker den inverse av system stivhetsmatrisen og den globale lastvektoren. Returnerer vektor med globale deformasjoner.

3.1.18 lokal_deform

Tar inn globale deformasjoner og listen med element-objekter. Itererer gjennom element-listen, og lager en vektor med deformasjonene for punktene til elementet. Transformerer de lokale deformasjonene til lokalt koordinatsystem

3.1.19 el_krefter

Itererer gjennom alle elementene henter ut elementenes lokale deformasjoner, stivhetsmatrise og fastinnspenningskrefter. Regner ut og lagrer endekreftene til elementet.

3.1.20 midt_moment

Itererer gjennom alle elementene og regner ut momentet på midten av bjelken basert på endekreftene.

3.1.21 maks_boyespenning

Itererer gjennom alle elementene og beregner boyespenningen ved begge endene og i midten av elementet. Lagrer så den største absoluttverdien av bøyespenningene til elementet.

3.1.22 print_funksjonene

I koden har vi laget 6 print funksjoner som printer for eksempel deformasjoner eller krefter på en fin og oversiktlig måte. Funksjonene: *print_deformasjoner*, *print_knutepunktskrefter*, *print_opplager*, *print_M*, *print_Q* og *print_maks_boyespenning*.

3.2 Input fil

Programmet er lagt opp til at all data om konstruksjonen som skal analyseres skal leses inn gjennom én inputfil. Her følger en forklaring av oppbyggingen av selve filen og hva som blir tatt inn. Selve inputfilen ligger vedlagt i Appendix B.1

3.2.1 Knutepunkt

Den første verdien som leses inn er antall knutepunkt og blir lagret som en variabel. Påfølgende antall linjer vil samsvare med antall knutepunkt der man får oppgitt koordinat x og y relativt til

knutepunkt 1. Tredje punkt forteller om knutepunktet er fastholdt mot rotasjon eller ikke, der verdien 0 tilsvarer fri rotasjon og verdien 1 er fastholding mot rotasjon. Hvert knutepunkt blir lagt til i en liste som et element.

3.2.2 Element

Verdien etter alle knutepunktene tilsvarer antall element og blir lagret i en variabel. Og for de antall element neste linjene vil verdiene bli lagret som et element i en liste over element. Et element leses inn som globalt knutepunkt 1, globalt knutepunkt 2, elastitetsmodul og profiltype. Vi har valgt å gi I-profiler tall som starter på 1, og hensikten bak dette er at man da kan gi inn så mange forskjellige I-profiler man vil. Rørprofiler vil på samme vis starte med tallet 2. Eksempelvis har vårt program to I-profil der de leses inn som henholdsvis 21 og 22. Dette gir programmet mulighet til å ta inn et stort utvalg innen de forskjellige profilene, men begrenser seg til 10 profiler.

3.2.3 Last

Etter innlesning av element vil antall laster bli lest inn og lagt i en variabel. Tilsvarende som for knutepunkt og element vil programmet da vite at de påfølgende linjene opptil antall laster er laster. Lastene leses inn som type last, hvilket element lasten virker på, størrelse på kraft, rotasjon og avstandskonstant. Det må presiseres at det er avholdt to plasser for innlesning av størrelse på last grunnet fordelte laster. For punktlaster vil man bare benytte seg av den første, og den andre vil settes lik 0. For fordelte laster vil man oppgi størrelse ved lokal ende 1 og størrelse ved lokal ende 2. Dette vil naturligvis begrense programmet til at det kun kan håndtere jevnt fordelte og lineært fordelte laster.

3.2.4 Profildata

Det leses inn antall forskjellige profiltyper og deretter legges de ulike typene i en liste. Profildata for I-pofil leses inn som profiltype, bredde på flens, tykkelse flens, høyde på steg og tykkelse for steg. For rør vil det være profildata, ytre radius og tykkelse på røret.

3.2.5 Flytspenning

Leser inn flytspenning for den endelige rammeanalysen. Vi antar én flytspenning for alle profiltyper og materialer, dette er en forenkling som fungerer for vår oppgave, men er lett å tilpasse om man trenger ulike flytspenninger.

4 Resultater

4.1 Kontroll av program

Det er viktig å kontrollere at Python-programmet fungerer slik vi har tenkt. For å sjekke at dette stemmer tok vi å sammenlignet resultatene fra programmet opp mot resultatene fra håndberegninger og programmet 3D-Beam. Grunnet forenklingene som ble gjort for håndberegningene ble areal satt til 10000 og elastitetsmodulen satt til 1. Dette var for å neglisjere aksialdeformasjon i programmet.

4.2 Testkonstruksjon 1

Testkonstruksjon 1 er en to-dimensjonal bjelke som er fast innspent i begge ender. Den har en jevnt fordelt last Q_1 som virker over hele bjelken, samt en punktlast P på midten.

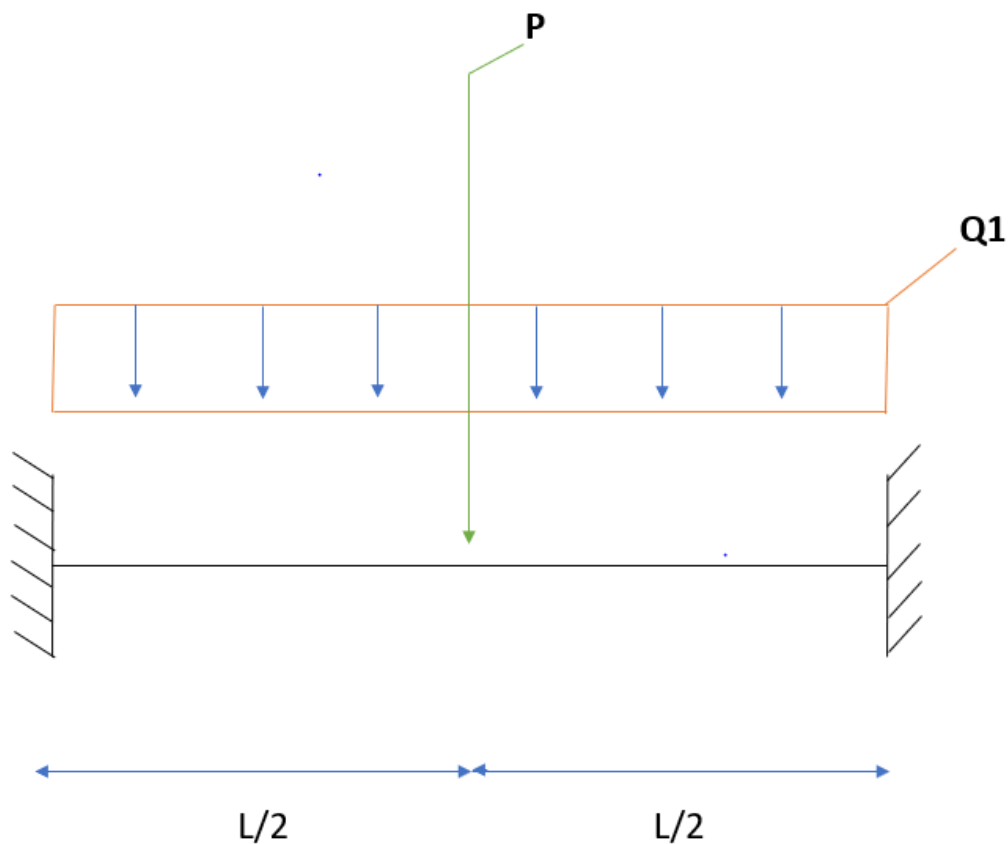


Figure 3: Testkonstruksjonen for den første håndberegningen

For å regne ut fastinnspenningsmoment tok vi i bruk kjente løsninger for moment og skjærkraft for henholdsvis en fast innspent bjelke med en punktlast på midten og en fast innspent bjelke med en jevnt fordelt last. Superposisjonsprinsippet ble så brukt for å regne ut momentdiagrammet for bjelken.

Vi så bort fra aksialdeformasjon ettersom bjelken ikke har noen horisontale krefter. Skjærkraft ble enkelt regnet ut ved å på ny ta i bruk kjente størrelser for de to ulike lasttilfellene. Hele beregningen og framgangsmåte er vist i appendix D.1 der vi har bestemt verdier; $P = 100kN$, $Q_1 = 10kN/m$ og $L = 4m$.

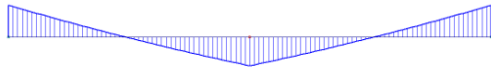


Figure 4: Momentdiagram: 3D-Beam

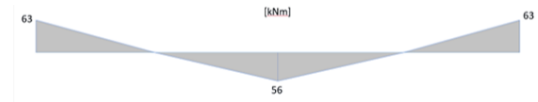


Figure 5: Momentdiagram: Håndberegninger

Figurene under viser to momentdiagram for systemet fra figur 3 med valgte verdier for lastene og lengden. Ett diagram er generert av 3D-Beam og det andre er tegnet for verdiene som håndberegningne ga oss. Vi samler alle verdiene opp i tabell 4 og ser da at 3D-beam, håndberegninger og Python-programmet stemmer overens.

Noder	3D-Beam [kNm]	Python-program [kNm]	Håndberegninger [kNm]
1	63	63	63
2	63	63	63

Table 4: Verdier for momentdiagram for bjelke [3]

4.2.1 Testkonstruksjon 2

Testkonstruksjon 2 er en to-dimensjonal fast innspent portalramme. Den har en horisontal punktlast P som virker i det venstre hjørnepunktet.

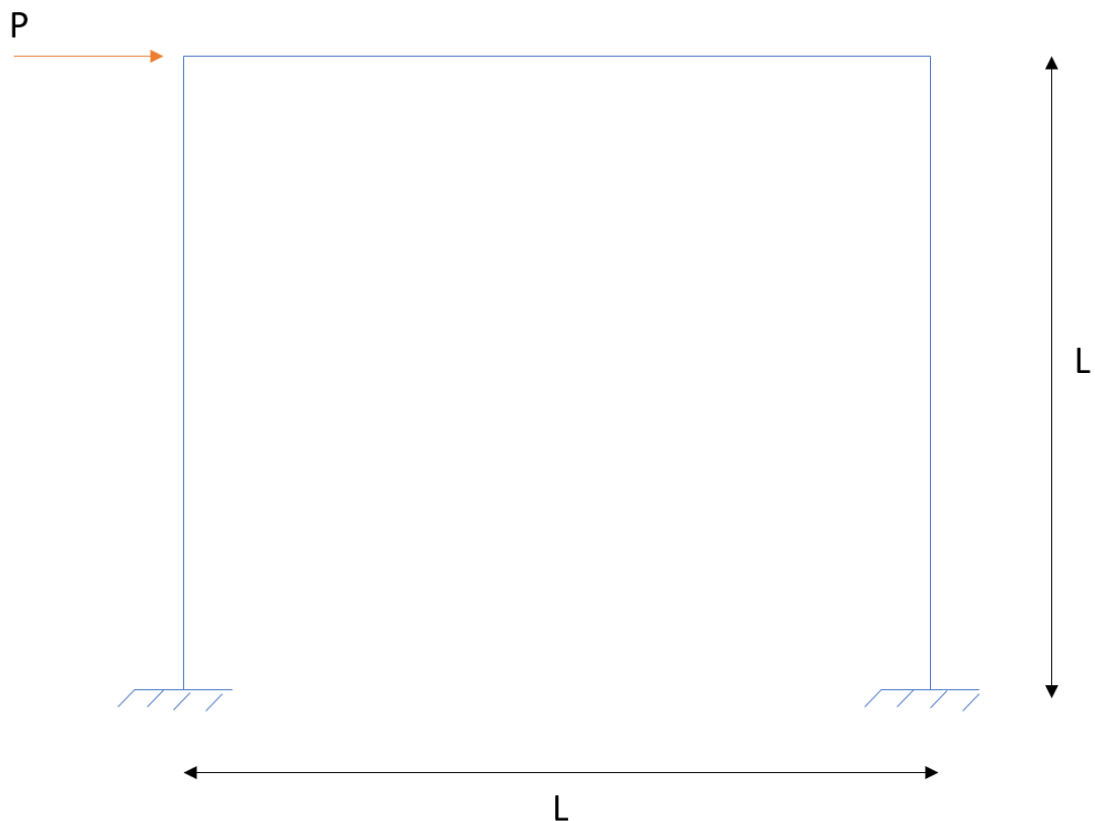


Figure 6: Testkonstruksjonen for den andre håndberegningen

For å regne på testkonstruksjon 2 ble deformasjonsmetoden tatt i bruk. Det er en metode som egner seg godt til å løse problem der konstruksjonen kan deles inn i enkle element. For å gjøre håndberegningene litt enklere setter man noen randbetingelser slik at stivhetsmatrisen for elementene blir mer håndterlig. Fra oppgaven er det gitt at vi kan se bort fra aksialdeformasjoner og fra innspenningen i element 1 og 3 vil det verken være tverrforskyvning eller rotasjon. Videre antar vi stive hjørner som vil gi lik vinkelendring og at tverrforskyvningen er lik i begge ender. I utregningen er det benyttet en lengde på 4 meter og en punktlast på 1kN.

Bruk av superposisjon på momentdiagramene gir konstruksjonens totale momentdiagram. Beregning og fremgangsmåte er vist i appendix D.2

Figurene under viser to momentdiagram for portalrammen 6. Ett er generert av 3D-Beam og det andre er tegnet for verdiene som håndberegningene ga oss. Vi samler tallene moment, skjær- og aksialkraft i tabellene [5][6] og ser at de stemmer overens med hverandre.

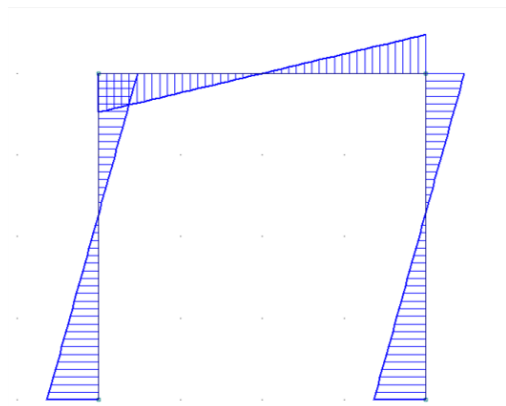


Figure 7: Momentdiagram: 3D-Beam

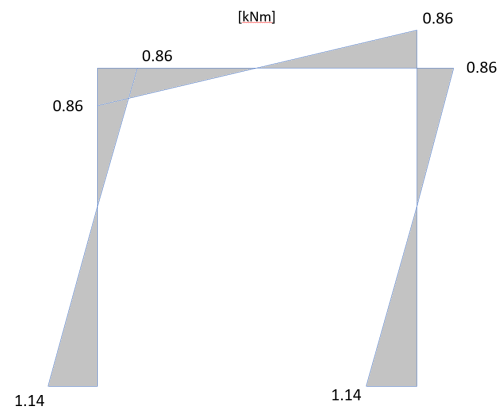


Figure 8: Momentdiagram: Håndberegninger

	Moment [kNm]					
	3D-beam		Python		Beregning	
Element	Ende 1	Ende 2	Ende 1	Ende 2	Ende 1	Ende 2
1	-1.14	0.86	-1.14	-0.86	-1.14	0.86
2	-0.86	0.86	0.86	0.86	-0.86	0.86
3	0.86	-1.14	-0.86	-1.14	0.86	-1.14

Table 5: Verdier for momentdiagram for portalramme [6]

	Skjærkraft [kN]					
	3D-beam		Python		Beregning	
Element	Ende 1	Ende 2	Ende 1	Ende 2	Ende 1	Ende 2
1	0.5	0.5	-0.5	-0.5	0.5	0.5
2	-0.43	-0.43	0.43	-0.43	-0.43	-0.43
3	-0.5	-0.5	-0.5	0.5	-0.5	-0.5

Table 6: Verdier for skjærkraft for portalramme [6]

Element	Aksialkraft [kN]					
	3D-beam		Python		Beregning	
	Ende 1	Ende 2	Ende 1	Ende 2	Ende 1	Ende 2
1	0.43	0.43	-0.43	0.43	0.43	0.43
2	-0.5	-0.5	0.5	-0.5	-0.5	-0.5
3	-0.43	-0.43	0.43	-0.43	-0.43	-0.43

Table 7: Verdier for aksialkraft for portalramme [6]

4.3 Valg av tverrsnittsprofil

Tverrsnittsdimensjonene skulle bestemmes slik at bøyespenningsnivået for den mest belastede bjelken i en gruppe av elementer var i størrelsesorden 30-70% av flytespenningen på 300 MPa. Vi delte konstruksjonen inn i fire grupper med elementer; ben (1), diagonalstag (2), tverrstag (3) og dekkskonstruksjon (4).

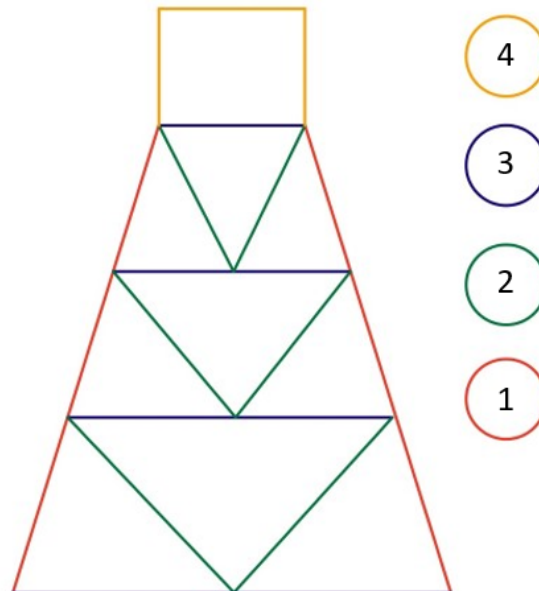


Figure 9: Gruppering av elementer for konstruksjonen

Dimensjonene ble først bestemt ut i fra hva vi trodde ville passe den gitte lastsituasjonen. Videre gjennomførte vi en iterasjonsprosess med antagelser om at kapasitetskravet for knekking var oppfylt uavhengig av de valgte tverrsnittsdimensjoner.

Vi tok i bruk 3D-beam for å lette bestemmelsen av dimensjonene. Etter å ha funnet dimensjoner som ga et passende forhold mellom bøyespenning og flytespenningen i hver gruppe, skulle vi bruke Python-programmet for den endelige analysen. Her fikk vi et stort avvik i sammenligning med svarene og besluttet dermed å gå for dimensjonene som ble iterert i 3D-beam. Dette blir diskutert videre i diskusjon 5.

Etter å ha gjennomført iterasjonsprosessen hadde vi bestemt oss for fem ulike tverrsnitt for konstruksjon. Jacket'en består av tre ulike rørprofiler (ben, diagonal- og horisontalstag) mens dekkskonstruksjonen består av to I-profiler (søyle og tverrbjelke). Dimensjonene for de ulike tverrsnittene er vist i tabell 8 og 9.

Dekkonstruksjon (I-bjelker)	Profil	Høyde i steg [mm]	Bredde flens [mm]	Tykkelse steg [mm]	Tykkelse flens [mm]
Søyler	I-bjelke	900	450	20	27
Tverrbjelker	I-bjelke	650	300	24	40

Table 8: Tverrsnittsdimensjoner for dekkonstruksjonen

Jacketen (rørprofil)	Ytre radius [mm]	Tykkelse [mm]
Bein	1500	150
Diagonal- stag	1000	250
Horisontal- stag	800	250

Table 9: Tverrsnittsdimensjoner for jacketen

Størst belastning er i element 17 med 43% av flytespenningen. Element 17 tilhører gruppen for beina til jacketen. Resten av gruppene har nå ved de bestemte tverrsnittene minst ett element som har bøyespenning mellom 30-70% prosent av flytespenningen. Elementene med størst belastning i hver gruppe er listet i tabell 10.

Gruppe	Profil	Element	Maksimal bøyespenning [MPa]	Prosent av flytespenning [%]
1	Rør	17	129	43%
2	Rør	16	93	31%
3	Rør	12	130	43%
4	I-bjelke	19	107	36%

Table 10: Den mest belasta bjelken i hver gruppe av elementer

4.4 Resultater fra Python-programmet

Vi har fått en rekke verdier fra Python-programmet og skal ved det gitte tversnittet fra tabellene 8 og 9 presentere moment, rotasjon, aksial- og skjærkrefter som blir gitt av henholdsvis koden og Nauticus 3D-Beam.

4.4.1 Moment

Tabellen 11 viser resultatene for moment fra Python-programmet sammenlignet med 3D-Beam. Tabellen viser moment ved start og endepunkt på bjelkene, i tillegg til midtmomentet for de bjelkene med fordelt last. Til slutt har vi regnet avviket mellom svarene fra koden og 3D-Beam.

Element	Ende 1 [kNm]			Ende 2 [kNm]			Midtmoment [kNm]		
	3D	Python	Avvik	3D	Python	Avvik	3D	Python	Avvik
0	-118	-94,8	19,7%	315	-267	15,2%			
1	-468	-421,8	9,9%	271	-249,6	7,9%			
2	4255	3985,8	6,3%	-398	57,6	85,5%			
3	388	341,2	12,1%	407	-507,7	24,7%			
4	395	347,5	12,0%	394	-495,6	25,8%			
5	4230	3958,4	6,4%	-396	50,9	87,1%			
6	-863	-909,5	5,4%	228	-151,2	33,7%			
7	-436	-362	17,0%	1065	-1115,3	4,7%			
8	872	1359,6	55,9%	13564	-13032,4	3,9%	117	-9446,8	7974%
9	303	226,4	25,3%	1874	-2084,3	11,2%			
10	361	286,8	20,6%	1756	-1962,8	11,8%			
11	1064	1560	46,6%	13188	-12639,5	4,2%	1064	-9077,6	753%
12	-7232	-8046,4	11,3%	9490	-10626,6	12,0%			
13	-9746	-10859,3	11,4%	7428	-8242,6	11,0%			
14	22670	23163	2,2%	-3901	3491,3	10,5%	-19022	25136	32%
15	9718	10859,3	11,7%	10574	-9374,2	11,3%	-11146	7347	34%
16	9518	10652,6	11,9%	10972	-9783,5	10,8%	-10935	6960	36%
17	22372	22844,9	2,1%	-2730	2276,8	16,6%	22372	23983	7%
18	7418	6667,8	10,1%	-7293	6539,7	10,3%			
19	746	-785	5,2%	-1868	-1867,7	0,0%			
20	949	967	1,9%	-1665	1685,7	1,2%			
21	-1868	1867,7	0,0%	-1665	-1685,7	1,2%			

Table 11: Sammenligning av momenter fra Python og 3D-beam

Vi har sammenlignet gjennomsnittsavviket til koden, ut i fra prosentavviket i tabell 11. Vårt høyeste avvik ligger på 87.1% noe som vil utgjøre en stor forskjell for gjennomsnittet. Vi ser også at tallene for midtmoment ikke stemmer overens og har derfor kun regnet gjennomsnittsavvik for ende 1 og ende 2. Dette blir diskutert videre i diskusjon.

	Ende 1	Ende 2	Totalt
Gjennomsnittsfeil	13.86%	18.22	16.04%

Table 12: Gjennomsnittsverdier for avviket fra tabell 11 for momentverdier

Vi tegnet momentdiagramet til konstruksjonen ut i fra momentverdiene fra python-programmet.

M [MN/m]

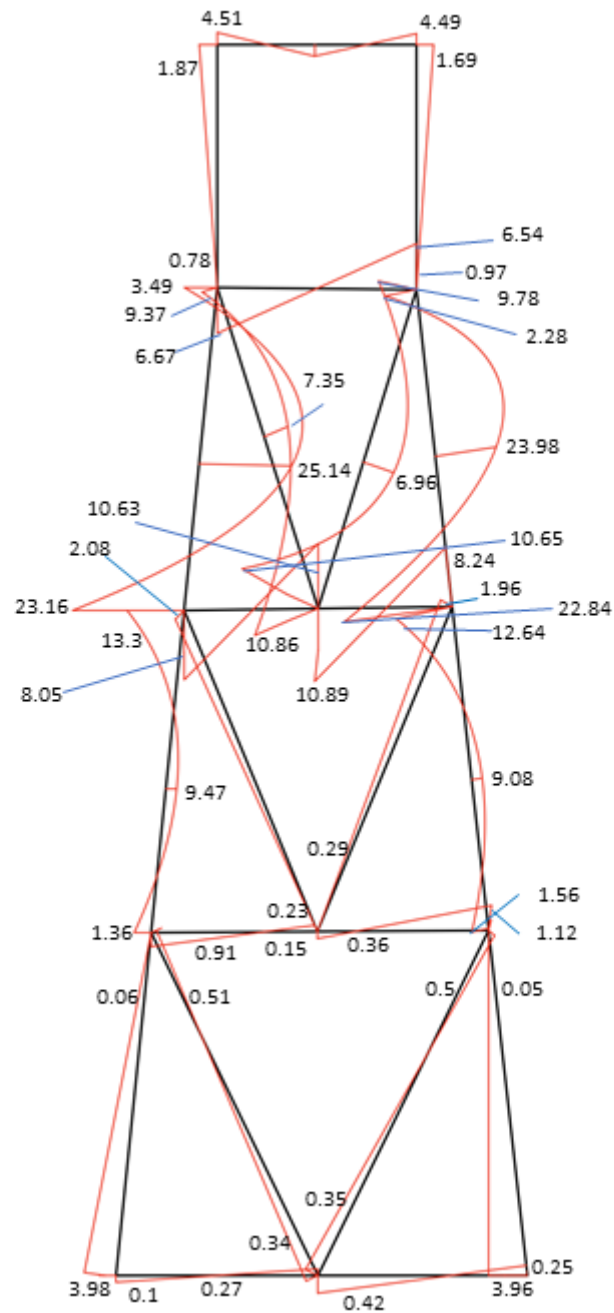


Figure 10: Momentdiagram basert på Pythonresultat

Momentdiagrammet fra 3D-beam viser null moment i dekkonstruksjonen, 11, noe som er feil. Dette er siden vi har rotert bjelke-elementene på dekkonstruksjonen slik at deformasjonene vil skje over tverrsnittets sterke akse.

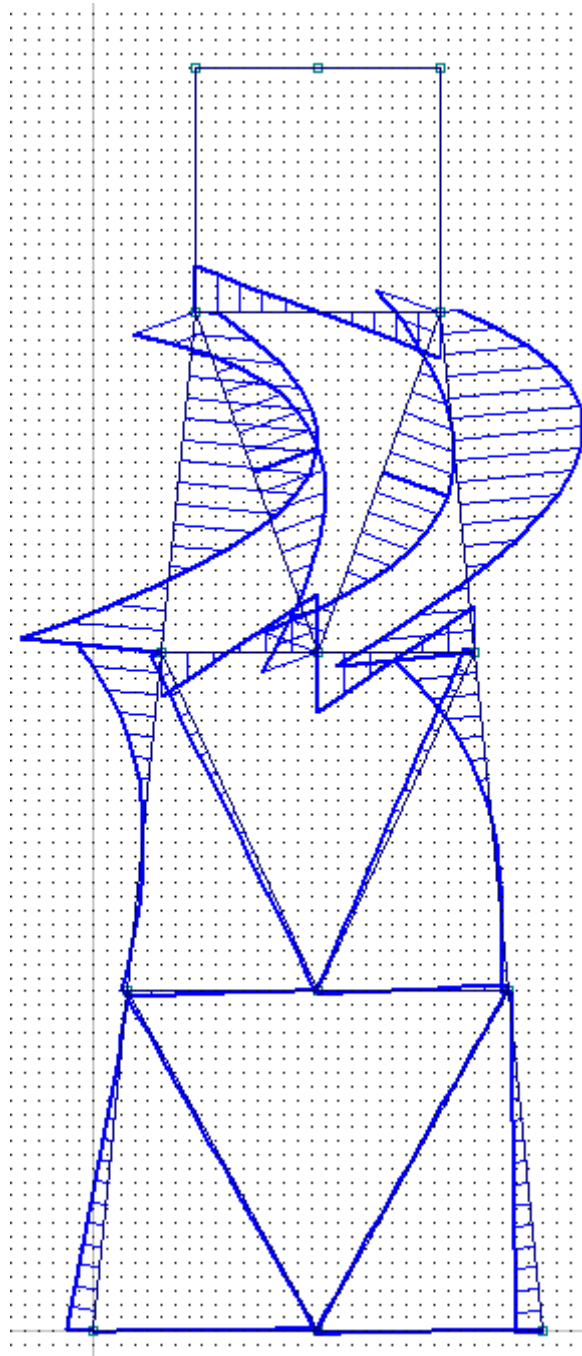


Figure 11: Momentdiagram fra 3D-Beam

4.4.2 Skjærkraft

Vi har sammenlignet resultatene fra skjærkraft i tabell 13 og regnet på avviket mellom koden og 3D-Beam.

Element	Ende 1 [kN]			Ende 2 [kN]		
	3D	Python	Avvik	3D	Python	Avvik
0	-26,23	21,9	16,53%	-26,2	-21,9	16,53%
1	-44,8	40,7	9,21%	-44,8	-40,7	9,21%
2	185,2	-160,9	13,13%	185	160,9	13,13%
3	-0,657	5,8	782,80%	-0,657	-5,8	782,80%
4	0,033	5,2	15657%	0,033	-5,2	15657%
5	184,1	-159,6	13,31%	184,1	159,6	13,31%
6	-77,9	75,8	2,73%	-77,9	-75,8	2,73%
7	-107,2	105,5	1,60%	-107,2	-105,5	1,60%
8	249	-1042,9	318,84%	-2013	-2738,8	36,06%
9	-57	67,5	18,42%	-57	-67,5	18,42%
10	-51	60,9	19,41%	-51	-60,9	19,41%
11	271	-1066,5	293,54%	-1990	-1194,7	39,96%
12	-1454	1623,7	11,67%	-1454	-1623,7	11,67%
13	-1493	1663,3	11,41%	-1493	1663,3	11,41%
14	4826	-6337,1	31,31%	4826	2707,8	43,89%
15	2625	-3775,8	43,84%	-3752	2601,2	30,67%
16	2602	3752,6	44,22%	-3775	2624,4	30,48%
17	4768	-6276,1	31,63%	-21489	2768,8	87,12%
18	817	-733,8	10,18%	817	733,8	10,18%
19	145	147,4	1,66%	145	-147,4	1,66%
20	145	-147,4	1,66%	145	147,4	1,66%
21	-511	-510,1	0,18%	489	-489,9	0,18%

Table 13: Sammenligning av skjærkrefter fra Python og 3D-beam

Tabell 13 viser gjennomsnittsverdier for avviket for skjærkraft. Vårt høyeste avvik er i element 4 på 15657%. Vi har sitt bort i fra element 4 i gjennomsnittsberegningen, ettersom det er en liten verdi og vil bare bidra til et mer unøyaktig resultat. Dette blir diskutert videre i diskusjon.

	Ende 1	Ende 2	Totalt
Gjennomsnittsfeil	79.87%	56.29%	68.07%

Table 14: Gjennomsnittsverdier for avviket fra tabell 13 for skjærkraft

Vi tegnet diagrammet til skjærkraft ut i fra momentverdiene fra python-programmet og sammenlignet det med diagrammet fra 3D-Beam. Diagrammene vises i figur 12 og 13.

V [MN]

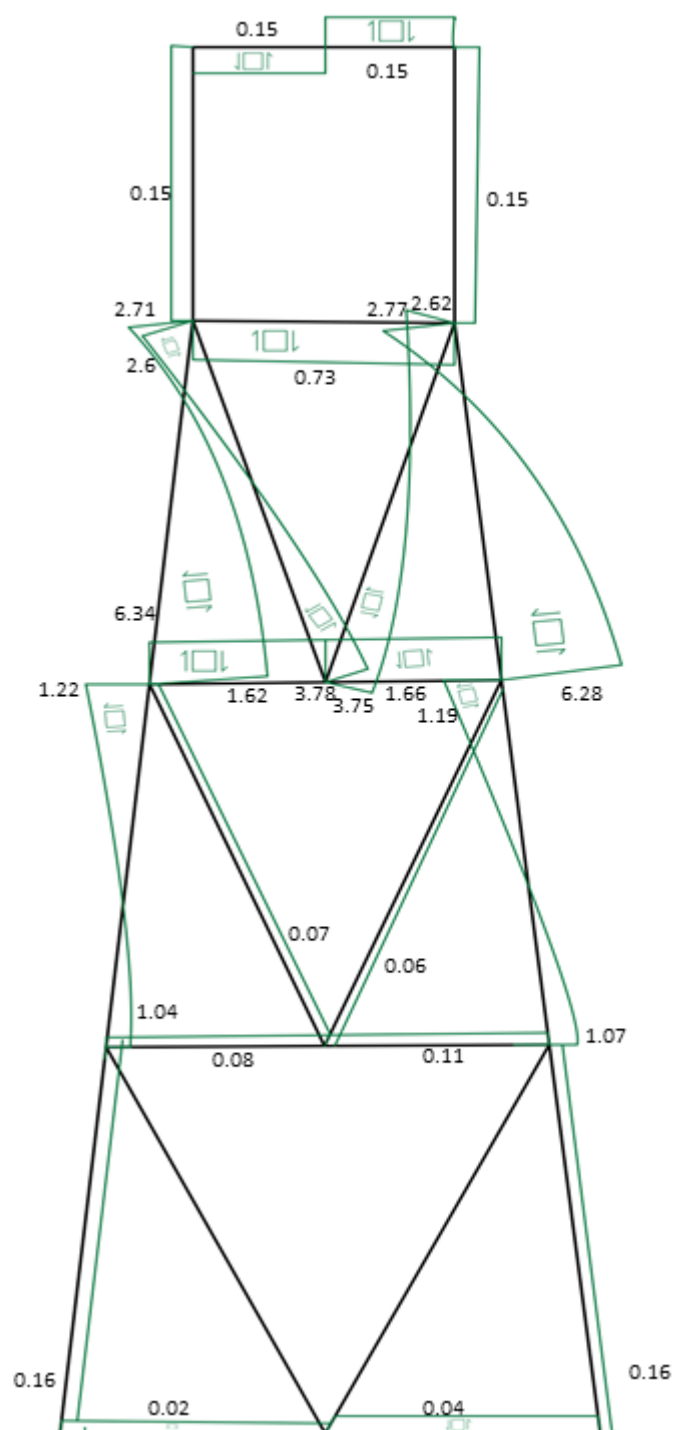


Figure 12: Skjærkraftdiagram basert på Pythonresultat

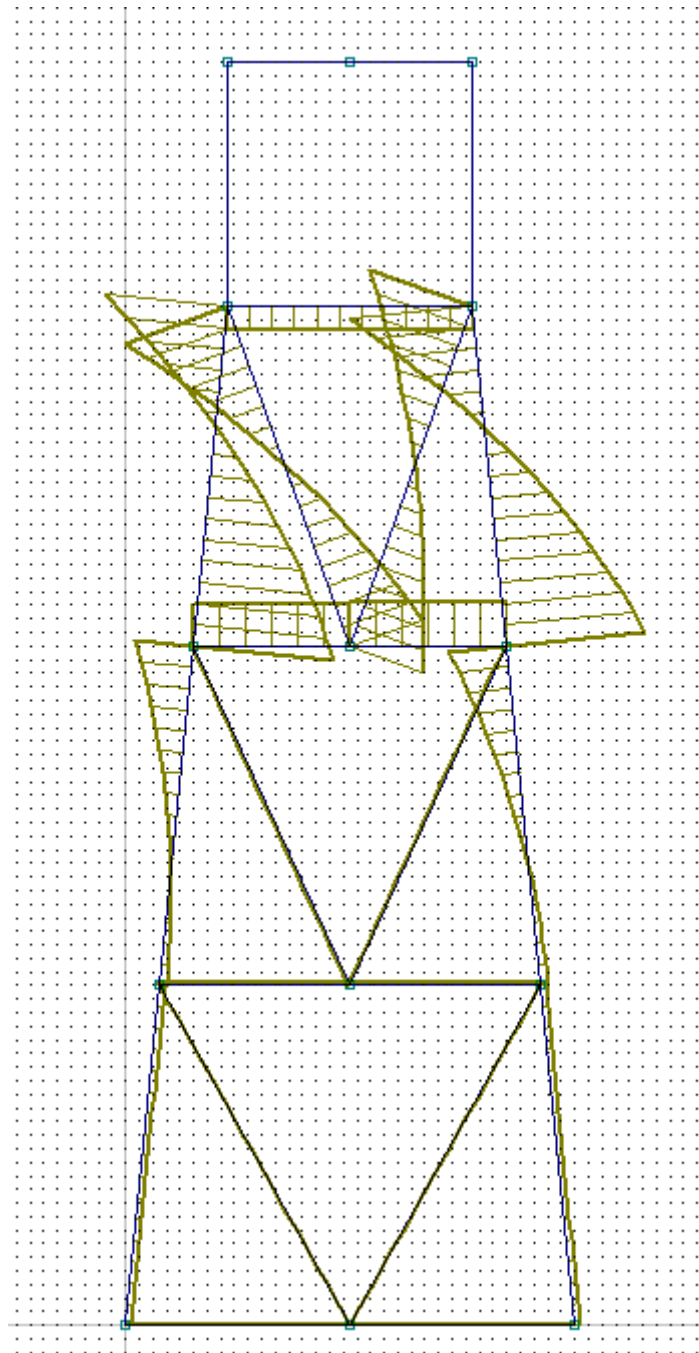


Figure 13: Skjærkraft fra 3D-Beam

4.4.3 Aksialkraft

Python-programmet returnerte alle verdiene for skjærkraft ved bjelkeendene, slik at vi sammenligne resultatene fra 3D-Beam som vises i tabell 15.

Element	Aksialkrefter [kN]		
	3D	Python	Avvik
0	10656	11194	5,05%
1	-10656	-11194	5,05%
2	59909	54746	8,62%
3	-21820	-22930	5,09%
4	21799	22909	5,09%
5	-68936	12321	82,13%
6	12509	-12287	1,77%
7	-12476	34648	177,72%
8	40704	-29597	27,29%
9	-30025	29567	1,53%
10	29996	-43665	45,57%
11	-49722	7568	84,78%
12	8498	-7648	10,00%
13	-8574	6720	21,62%
14	12489	-12030	3,68%
15	-17967	11980	33,32%
16	17917	-15719	12,27%
17	-21489	15719	26,85%
18	-254	250	1,57%
19	-4511	4510	0,02%
20	-4489	4489	0,00%
21	-145	-147	1,38%

Table 15: Sammenligning av aksialkrefter fra Python og 3D-beam

Tabell 15 viser avvikene i aksialkraft for de ulike elementene som til slutt ble regnet til en gjennomsnittsverdi på 25.47%.

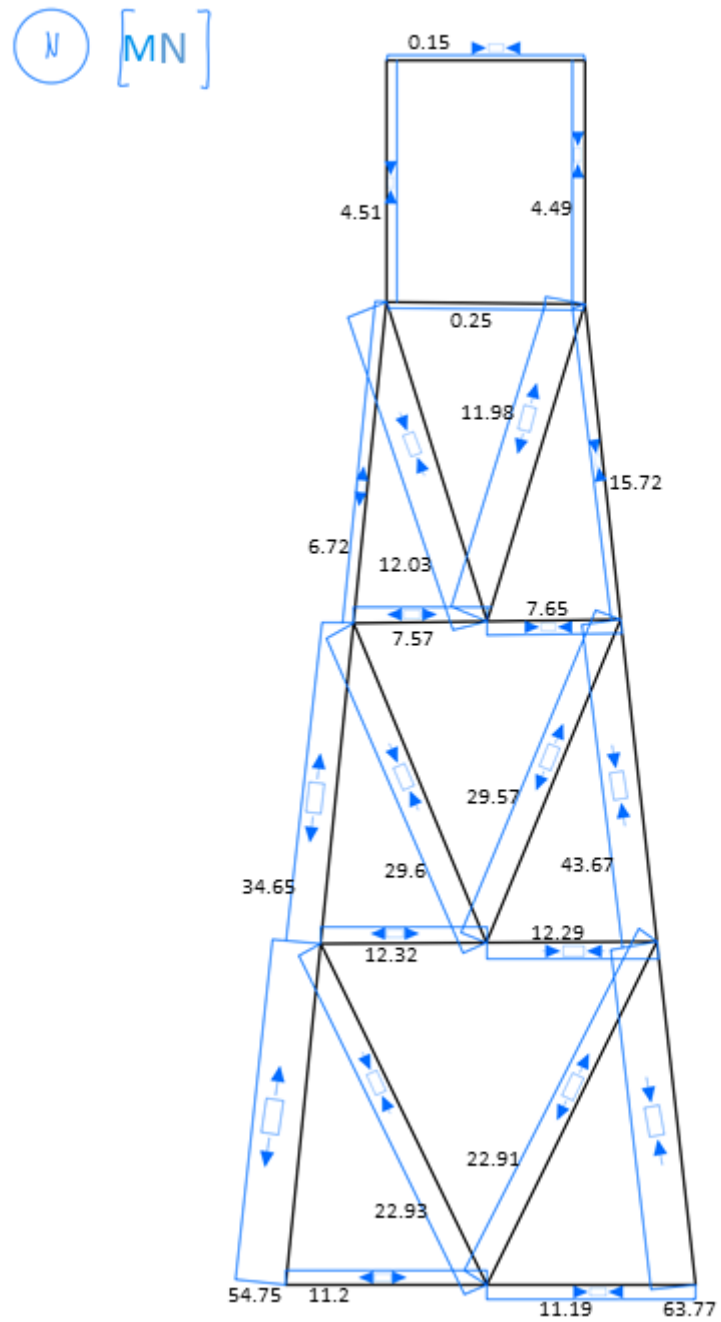


Figure 14: Aksialkraftdiagram basert på Pythonresultat

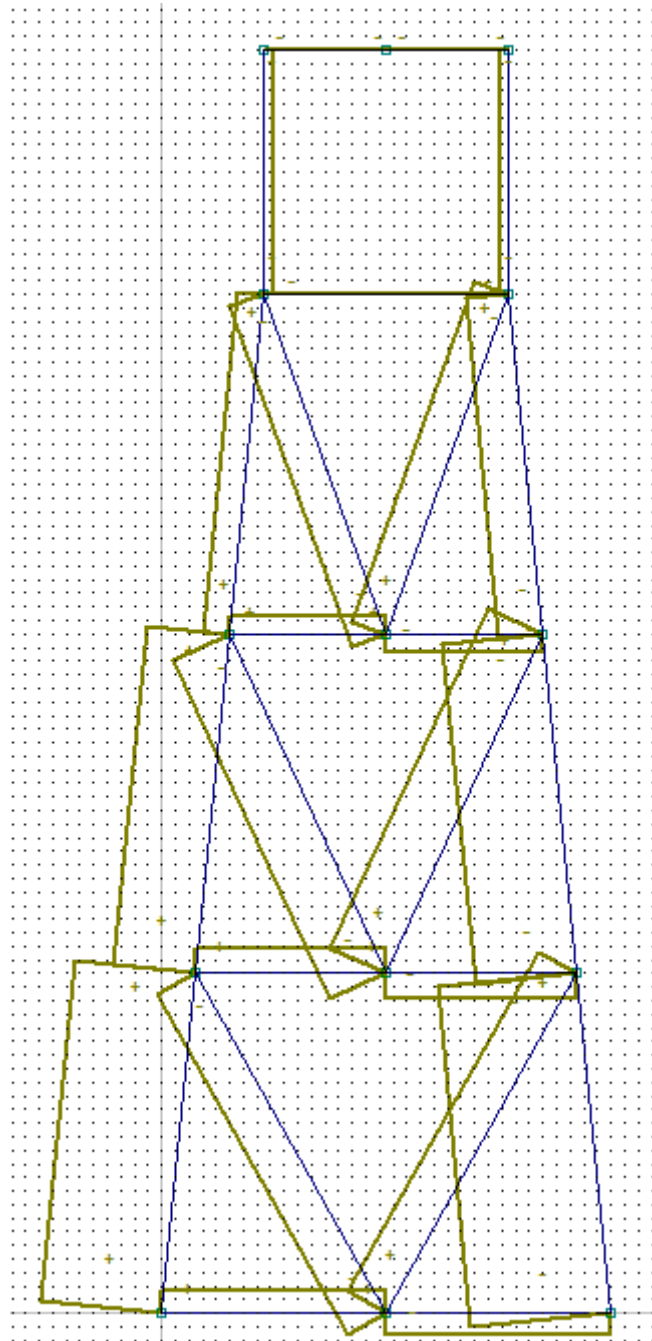


Figure 15: Aksialkraftdiagram fra 3D-Beam

4.4.4 Forskyvninger og rotasjoner

Vi regnet ut konstruksjonens forskyvning i x-retning, y-retninger og rotasjoner i Python-programmet. Vi sammenlignet verdiene med 3D-Beam, og fikk avvik fra 3.18%-12.76%.

Node	X-forskyvning [mm]			Y-forskyvning [mm]			Rotasjon [rad]		
	3D	Python	Avvik	3D	Python	Avvik	3D	Python	Avvik
0	0,00	0,00	0%	0,00	0,00	0%	0	0%	0%
1	1,94	2,04	5,05%	0,85	0,85	0,01%	0,00039	0,00034	12,71%
2	0,00	0,00	0%	0,00	0,00	0,00%	0,00000	0%	0,00%
3	28,86	27,91	3,29%	8,44	7,56	10,44%	0,00157	0,00160	1,82%
4	30,79	29,82	3,18%	1,70	1,70	0,00%	0,00157	0,00032	36,05%
5	28,87	27,92	3,29%	10,14	9,26	8,69%	0,00156	0,00159	1,93%
6	75,43	70,65	6,33%	11,47	9,83	14,32%	0,00360	0,00361	0,30%
7	76,50	71,61	6,40%	2,56	2,56	0,01%	0,00673	0,00719	6,83%
8	75,42	70,64	6,33%	14,89	13,24	11,04%	0,00351	0,00352	0,23%
9	120,83	107,07	11,39%	9,29	7,46	19,74%	0,00419	0,00381	9,04%
10	120,78	107,02	11,39%	14,41	12,58	12,73%	0,00392	0,00353	9,84%
11	84,80	74,12	12,60%	18,13	19,96	10,08%	0,01823	0,01781	2,29%
12	83,86	73,16	12,76%	41,70	39,87	4,38%	0,01823	0,01789	1,87%

Table 16: Sammenligning av forskyvninger og rotasjoner fra Python og 3D-beam

	X-retning	Y-retning	Radianer	Totale gjennomsnitt
Gjennomsnittsfeil	7.45%	8.31%	7.53%	7.76%

Table 17: Gjennomsnittsverdier for avviket fra tabell 16 for forskyvninger og rotasjoner

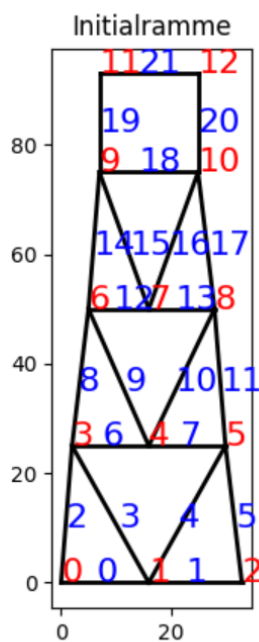


Figure 16: ramme før deformasjon

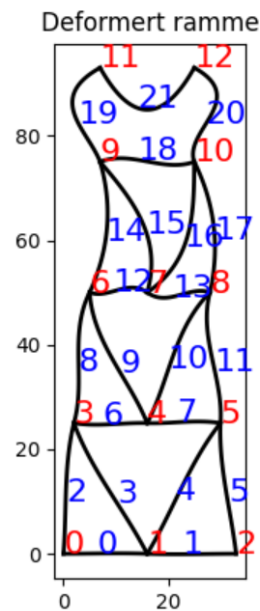


Figure 17: ramme deformert

5 Diskusjon

For å sjekke at programmet fungerer har vi brukt håndberegningene som sammenligningsgrunnlag og sjekket disse i 3D-beam også. For begge håndberegningene fikk python-programmet vårt korrekte svar målt opp mot både 3D-beam og håndberegningene selv. I (Table 4) ser vi at alle utregningene gir samme endemoment på 63kNm. For portal-rammen ble også tallverdiene for alle momentene (Table 5), skjærkreftene (Table 6) og aksialkreftene (Table 7) helt like i python, 3D-Beam og for håndberegningene. Men vi ser også i tabellene at fortegnene noen steder ble forskjellig. Det har med måten positiv ende blir definert, selv om vi trodde dette skulle gå fint, tror vi nå det kan være et større problem enn først antatt.

Da vi kjørte programmet for hele rammen vår fikk vi likevel store avvik, som har ført til mye tidsbruk for å feilsøke koden. De største avvikene mellom Python-programmet og 3D-Beam kommer riktignok for de minste verdiene, se ende 2 på de nederste beina(element 2 og 5) i Table 11. Her er avviket på over 85% grunnet altfor lave verdier på moment i Python-programmet. Ellers når vi sammenligner elementenes momentkrefter i 3D-Beam med eget program, ser vi at momentfortegnet på spesielt ende 2 ofte er motsatt av resultatene fra 3D-Beam. Vi har prøvd å rotere de lokale koordinatsystemene til noen av bjelkene i 3D-Beam, likevel så er ikke fortegnet konsekvent forskjellig. Dette gir oss grunn til å tro at vi har noe fortegnssfeil, eller lignende, i koden. Denne fortegnssfeilen var hovedgrunnen til at vi har slitt med å regne midtmomentet korrekt, da vi ikke vet helt sikkert hvilket fortegn de ulike endene får. Midt momentet er dermed ikke korrekt regnet ut, og vi antar at vi har feil i funksjonenes utregninger i tillegg til eventuelle følgefeil.

Generelt er det likevel en gjennomgående sammenheng mellom resultatene, og vi ser i Table ?? at det gjennomsnittlige moment-avviket ligger på rundt 16%.

Avviket øker dermed betraktelig når vi ser på både aksialkreftene (Table 15) og spesielt skjærkreftene (Table 13). Blant annet ser vi i ende 2 på element 4 at 3D-Beam gir en skjærkraft på 0.033kN, mens python programmet vår gir -5,2 kN. Så store forskjeller gir nok en bekreftelse på at vi har noe utregningsfeil i koden. Prosentavviket til disse verdiene kan også vise kunstig høye tall da de gjelder for de minste verdiene i systemet og dermed vil utgjøre relativt liten forskjell.

Siden det er størst feil i aksial- og skjærkreftene kan det kanskje tyde på at feilen ligger i noe av transformeringene mellom lokalt og globalt koordinatsystem. Eventuelt så kan det ha noe med de aksielle deformasjonene å gjøre siden håndberegningene ga riktige resultater, og der neglisjerte vi de aksielle deformasjonene ved å sette opp arealet.

Det er derimot på deformasjonene og rotasjonene programmet vårt får analysens minste gjennomsnittsavvik, se Table 16. Størst deformasjonsavvik får vi i det 9'ende knutepunktets y-retning med 19.74%, men ellers er de fleste avvikene på under 10% som betrykker oss om at programmet i hvert fall fungerer til en viss grad. I Figure 22 vises rammen oppskaler deformert form.

For å finne tverrsnittet tok vi i bruk 3D-Beam for å lette bestemmelse av dimensjonene. Tanken var å først bruke 3D-Beam til å finne dimensjoner som ga et passende forhold mellom bøyespennning og flytespenning i hver gruppe, før vi skulle bruke Python-programmet for den endelige analysen. Her fikk vi større problemer enn først antatt, da sammenligningen for bøyespenningsverdiene ga store avvik. Etter mye feilsøking på koden måtte vi til slutt ta et valg om hvilke data vi skulle gå etter. Valget falt på 3D-Beam siden vi så på det som et tryggere valg, da den gav oss mer realistiske verdier for konstruksjonen og oppfylte kravene til oppgava.

Etter bestemmelse av tverrsnittsdimensjoner fikk vi prosenter av flytespenningen som var helt nede i 31% som er på grensa til oppgavens krav på 30-70%. Vi tror mulig at avvikene vi regnet ut i [resultater 4] ville ha blitt redusert om vi hadde minsket dimensjonene på tverrsnittene. Det hadde også vært helt mulig ettersom vi skulle se bort i fra knekking og hadde mye å gå på ut i fra oppgavens krav om belastning på bjelkene.

6 Konklusjon

I dette prosjektet har vi fått jobbet med programmeringsferdighetene våre og skapt en Python-kode som kan ta inn en vilkårlig todimensjonal konstruksjon og analysere konstruksjonen med både punktlaster og lineært fordelte laster. Programmet vi står igjen med etter de siste ukenes harde arbeid, er dessverre ikke helt korrekt. Vi ser likevel klare paralleller mellom resultatene fra python-programmet vårt og resultatene fra 3D-Beam. For den avgjørende analysen av dekkskonstruksjonen får vi et gjennomsnittlig avvik på moment på rundt 16%, og til tross for relativt lave avvik på mange av skjærkreftene hadde noen ender spesielt store avvik på over 15000%. Når det kommer til forskyvninger og rotasjoner er ikke gjennomsnittsavviket på mer enn rundt 7%.

Selv med utallige timer debugging/feilsøking av koden har vi ikke funnet feilen, og vi har mange teorier om hvor feilen kan ligge, fra fortegn og transformering av koordinatsystemener til at det har med aksialdeformasjonene. Boyespenningsutregningen var også så langt fra realistisk at vi måtte gå for all itterering i 3D-beam.

Vi kan likevel ta med oss erfaringer fra bruk av digitale verktøy som brukes daglig til ingeniørberegninger og noe av teorien bak disse programmene. Det å forsøke å lage et slikt program og ikke lykkes har vært en lekse i hvorfor man ikke alltid kan stole på digitale verktøy uten noen form for forståelse bak programmene. I tillegg har vi lært hvor nyttig og effektive disse programmene er når man kan vurdere og kontrollere til en viss grad resultater er fornuftig.

Referanseliste

- Larsen, Carl Martin, Jørgen Amdahl and Kåre Syvertsen (2010). *Kompendium Marin teknikk 2. norsk*. NTNU.
- NTNU, Department of Marine Technology (2020). *IMT Software Wiki - LaTeX*. URL: <https://www.ntnu.no/wiki/display/imtsoftware/LaTeX> (visited on 15th Sept. 2020).

Appendix

A Python-kode

A.1 main.py

```
1  import numpy as np
2
3  from structure_visualization      import *
4  from AA_les_input                 import *
5  from AA_klas                      import *
6  from AB_lengder                  import *
7  from AC_dimensjoner_last         import *
8  from AB_areal_og_I               import *
9  from AD_fim                      import *
10 from AE_lokal_k                   import *
11 from AE_transformasjonsmatrise    import *
12 from AE_lastvektor                import *
13 from AE_store_stivhetsmatrisen   import *
14 from AF_randbetingelser           import *
15 from AG_endemomenter              import *
16 from AP_print                     import *
17 from AG_midtmoment                import *
18 from AH_boyespenning              import *
19 from AF_deformasjoner             import *
20
21
22
23
24
25 # -----Rammeanalyse-----
26 def main():
27     # -----Initialiserer figurer-----
28     fig_init, ax_init, fig_def, ax_def = setup_plots()
29     # -----Til visualiseringen, velg f rste indeks brukt i nummerering av noder og
30     element-----
31     first_index = 0
32
33     # -----Leser input-data-----
34     n_punkter, punkter, n_elementer, elementer, n_laster, laster_udimensjonert,
35     n_profil, profiler, flytspenning = lesinput()
36
37     elem_list = ant_elementer(n_elementer)
38     add_elements(n_elementer, elementer, elem_list, profiler, punkter)
39
40
41     # -----Plott initalramme-----
42     plot_structure(ax_init, punkter, elementer, 1, first_index)
43
44     # Dimensjonerer de fordelte lastene til diameteren p r rprofilene de virker
45     p
46     laster = dimensjoner_fordeltlast(profiler, laster_udimensjonert, elementer)
47     #laster =laster_udimensjonert
48
49
50
51
52
53     # -----Fastinnspenningsmomentene-----
54     # Regner ut fastinnspenningsmomentene for elementene
55     #fim, fiq = fastinnspennings_mq( n_elementer,elem_list, laster, elem_list)
56     fastinnspenningskrefter(elem_list, laster)
57     # -----Lastvektor-----
58     lastvektor = lastvektor_funk(n_punkter,laster, elem_list)
59
60
61     # -----Systemets stivhetsmatrise-----
62     K_system = system_stivhetsmatrise(elem_list, n_punkter,punkter)
```

```

63
64 # -----Justerer stivhetsmatrisen og lastvektoren til randbetingelsene -----
65 K, L_vek = randbetingelser(n_punkter, punkter, K_system, lastvektor)
66
67
68 # -----Sjekk av deformasjoner -----
69 deform = deformasjoner(K, L_vek)
70
71 # -----Deler deformasjonsvektoren i rotasjoner, x- og y-forskyvning -----
72 rot = deform[2::3]
73 x_def = deform[0::3]
74 y_def = deform[1::3]
75
76
77 # -----Regner ut knutepunktkreftene -----
78 lokal_deform(elem_list, deform)
79 el_krefter(elem_list)
80 midt_moment(elem_list)
81 mom(elem_list, laster)
82 maks_boyespenning(elem_list)
83 prosent_av_flyt(flytspenning, elem_list)
84
85
86 #
87 print_deformasjoner(rot, x_def, y_def, n_punkter)
88 print_knutepunktskrefter(elem_list)
89 print_opplager(elem_list, punkter)
90 print_M(elem_list)
91 print_Q(elem_list)
92 print_maks_boyespenning(elem_list, flytspenning)
93
94 # -----Plott deformert ramme-----
95 skalering = 1e-2 # Du kan endre denne konstanten for      skalere de synlige
deformasjonene til rammen
96 plot_structure_def(ax_def, punkter, elementer, 1, first_index, -skalering * rot
)
97 plt.show()
98
99 main()

```

A.2 class Element

```

1  class Element(object):
2      '''
3      En klasse for hvert bjelke-element med variabler for      holde oversikt over
4      alle st rrelser koblet til hvert lokale element
5      '''
6      # Index p  de lokale endene
7      ende_1 = int
8      ende_2 = int
9
10     # Punktdataen til de lokale endene; x-/ y-koordinater og fast innspent eller
11     ikke
12     punkt_1 = []
13     punkt_2 = []
14
15     # Material- og tverrsnittsdata:
16     #Elastisitetsmodul
17     E = int
18     #Andre arealtreghetsmoment
19     I = float
20     #Areal
21     A = float
22     #Elementlengde
23     L = float
24     #Avstand til tverrsnittets arealsenter
25     z_c = float
26
27     #Profiltype: Tosifret tall der f rste tall er valg av profil (1_ = I-profil, 2
28     _ = ror-profil)

```

```

26     # og andre siffer er ulike varianter/tykkelser for profilet.
    EKSEMPEL: 13 = I-profil nr 3
27     profil_type = int
28     #Profildata/tverrsnittsm l til elementet
29     profil = []
30
31     #Lagrer kreftene p en fordelt last som virker p elementet. Tar bare h yde
    for n fordelt last per element
32     fordeltlast = []
33
34     #Lokal stivhetsmatrise
35     k_lokal = np.zeros((6,6))
36     #Lokal stivhetsmatrise rotert til globalt koordinatsystem
37     k_global = np.zeros((6, 6))
38
39     #Transformasjonsmatrise
40     T = np.zeros((6, 6))
41
42     #Lokale fast innspenningskrefter
43     fik = np.zeros((6,1))
44     #Lokal lastvektor
45     lokal_lastvektor = np.zeros((6,1))
46
47     # Lokale deformasjoner og rotasjoer
48     deformasjoner = np.zeros((6,1))
49
50     #Endekrefter
51     krefter = np.zeros((6,1))
52
53     #Moment og skjerkraft midt p bjelken
54     M_midt = float
55     Q_midt = float
56
57     #St rste absolutte byespenning av spenningen ved endene eller midten
58     sigma_max = float
59     #Prosentvis st rrelsen p byespenningen basert p valgt flytspenning
60     prosent_av_flyt = float

```

A.3 ant_elementer.py

```

1 def ant_elementer (n_elem):
2     '''
3     Itererer gjennom alle elementene, oppretter et Element-objekt for hver og
    legger til i en liste.
4     :param n_elem: antallet elementer
5     :return: liste med alle elementene som objekter av Element-klassen
6     '''
7
8     elem_list = []
9     for i in range(n_elem):
10         # Oppretter et objekt av klassen: Element
11         element = Element()
12         # Legger til objektet i listen: elem_list
13         elem_list.append(element)
14     return elem_list

```

A.4 add_elements

```

1 def add_elements (n_elem, elementer, elem_list, profiler, punkter):
2     '''
3     Legger til inputdataen som f.eks. dimensjoner til hvert Element-objekt. I
    tillegg kj res subrutiner for
4     legge til blant annet areal og lokal stivhetsmatrise.
5     :param n_elem: Antall elementer
6     :param elementer: Liste med alle elementene slik de leses inn fra inputfilen
7     :param elem_list: Liste med Element-objekter av klassen Element
8     :param profiler: Liste med ulike profiler slik de leses inn fra inputfilen

```

```

9  :param punkter: Liste med alle punktene og deres koordinater, slik lest inn fra
    inputfilen
10  '''
11
12  # Liste med andre arealmoment for hvert element sortert i samme rekkefølge som
    elementene
13  I = andre_arealmoment(n_elem, elementer, profiler)
14
15  # Liste over alle elementlengdene, sortert i samme rekkefølge
16  elem_lengder = lengder(punkter, elementer, n_elem)
17
18  for i in range(n_elem):
19      # Elementdataen fra inputfilen
20      elem = elementer[i]
21      # Element-objektet der dataen skal lagres
22      e = elem_list[i]
23
24      #Lagrer punkt-indeksen til de lokale endene
25      e.ende_1 = elem[0]
26      e.ende_2 = elem[1]
27      # Lagrer punktdataen ( x, y, fastinnsp.) til de lokale endene
28      e.punkt_1 = punkter[e.ende_1]
29      e.punkt_2 = punkter[e.ende_2]
30
31      # Lagrer henholdsvis: elementstivhetn, andrearealmoment, elementlengden og
    z-avstanden til tverrsnittsarealet
32      e.E = elem[2]
33      e.I = I[i][0]
34      e.L = elem_lengder[i]
35      e.z_c = I[i][1]
36
37      # Lagrer elementets profiltype (tosifret)
38      e.profil_type = elem[3]
39
40      # Finner indexen til riktig profil og lagrer til profilets profildata
41      index = index_profildata(elem, profiler)
42      p_data = profiler[index]
43      e.profil = p_data
44
45
46      # Regner ut og lagrer profilets areal
47      A = areal(elem, p_data)
48      e.A = A
49      # Areal og andre arealmoment brukt for kontrollere programmet opp mot
    hndberegningene
50      # Arealet er s pass h yt for neglisjere aksiale deformasjoner
51      e.A = 100000
52      e.I = 1
53
54      # Lagrer transformasjonsmatrisen (6x6-matrise)
55      T = transformasjon(elementer[i], punkter, e.L)
56      e.T = T
57
58      # Lagrer den lokale stivhetsmatrisen
59      e.k_lokal = lokal_k(elem, e.A, e.I, e.L)
60
61      # Regner den inverse av transformasjonsmatrisen
62      T_inv = np.linalg.inv(T)
63
64      # Bruker transformasjonsmatrisen og den inverse til regne ut den
65      # lokale stivhetsmatrise for det globale koordinatsystemet
66      e.k_global = np.linalg.multi_dot([T, e.k_lokal, T_inv])

```

A.5 les_input.py

```

1  def lesinput():
2      # pner inputfilen
3      file_in_data = open("input.txt", "r")
4
5      # Leser totalt antall punkter og lagrer antallet som int
6      n_punkter = int(file_in_data.readline())

```

```

7
8 # Leser alle punktene og lagrer i en liste der hvert punkt best r av x-
  koordinat, y-koordinat og fastinnspenning
9 punkter = np.loadtxt(file_in_data, dtype=float, max_rows=n_punkter)
10
11
12 # Leser antall elementer
13 n_elem = int(file_in_data.readline())
14
15 # Leser inn element-data; lokalt punkt 1, lokalt punkt 2, Elastisitetsmodul,
  Profilttype
16 # Elementnummer tilsvarer radnummer i "elem"-variabel
17 elementer = np.loadtxt(file_in_data, dtype=int, max_rows=n_elem)
18
19
20 # Leser antall laster som virker p rammen
21 n_last = int(file_in_data.readline())
22
23 # Leser lastdata;
24 laster = np.loadtxt(file_in_data, dtype=float, max_rows=n_last)
25
26 # Leser antall profiltyper totalt, b de IPE og ror
27 n_profiler = int(file_in_data.readline())
28
29 # Leser profildata;
30 profiler = np.loadtxt(file_in_data, dtype=float, max_rows=n_profiler)
31
32 # Leser flytspenning, antar n flytspenning for alle tverrsnitt
33 flytspenning = int(file_in_data.readline())
34
35 # Lukker input-filen
36 file_in_data.close()
37
38 return n_punkter, punkter, n_elem, elementer, n_last, laster, n_profiler,
  profiler, flytspenning

```

A.6 areal.py

```

1 def areal(element, profildata):
2     '''
3     Sjekker hvilket profil det er og bruker subrutiner til regne ut arealet
4     :param element: Element
5     :param profildata: Tverrsnittsdata til valgt element
6     :return: tverrsnittsareal
7     '''
8
9     type_profil = element[3]
10
11     # Sjekker om profilet er IPE
12     if str(type_profil)[:1] == '1':
13         A = ipe_areal(profildata)
14
15     # Sjekker om profilet er r r
16     elif str(type_profil)[:1] == '2':
17         A = ror_areal(profildata)
18     return A
19
20
21 def ror_areal (profildata):
22     '''
23     :param profildata: Tverrsnittsdata for et r r-profil
24     :return: Arealet til r r-tverrsnittet
25     '''
26     #Ytre radius
27     R = profildata[1]
28     #R rtykkelsen
29     t = profildata[2]
30
31     A = ((np.pi * R**2) - (np.pi * (R - t)**2))
32     return A
33

```

```

34 def ipe_areal (profildata):
35     '''
36     :param profildata: Tverrsnittsdata for et I-profil
37     :return: Arealet til et I-tverrsnitt
38     '''
39     #Arealet p flensene
40     a_flens = profildata[1] * profildata[2]
41     #Arealet p steget
42     a_steg = profildata[3] * profildata[4]
43
44     A = 2 * a_flens + a_steg
45     return A

```

A.7 andre_arealmoment.py

```

1  def andre_arealmoment (n_elem, elementer, profildata):
2      '''
3          Regner ut andre arealmoment for alle elementene og lagrer de i en liste
4          :param n_elem: Antall elementer
5          :param elementer: Liste over elementene (fra inputfilen)
6          :param profildata: Liste over m l p profiler (fra inputfilen)
7          :return: Todimensjonal liste med andre arealmoment og arealsenter for hvert
8              element
9          '''
10
11     # Lager listen som skal returneres med alle arealmomentene
12     I = np.zeros((n_elem, 2))
13
14     #Itererer gjennom hvert element hvor regne for hvert
15     for i in range(0, n_elem):
16
17         #Profiltypen til elementet
18         profiltype = elementer[i][3]
19
20         #Finner riktig profil til elementet
21         profil_nr = index_profildata(elementer[i], profildata)
22         profil = profildata[profil_nr]
23
24         # Sjekker om profilet er IPE
25         if str(profiltype)[:1] == '1':
26
27             # Regner h yden opp til arealsenteret
28             # halve h yden p steget + tykkelsen p flensen (antar lik tykkelse
29             # begge flensene)
30             z_c = profil[3] / 2 + profil[2]
31
32             # Andre arealmoment for elementet
33             I_total = aam_I_profil(profil)
34
35             #Legger til utregningene i listen I med index = element_nr
36             I[i][0] = I_total
37             I[i][1] = z_c
38
39         # Sjekker om profilet er r r
40         elif str(profiltype)[:1] == '2':
41
42             # H yden til arealsenteret er lik ytre radius
43             z_c = profil[1]
44
45             I_total = aam_ror_profil(profil)
46
47             I[i][0] = I_total
48             I[i][1] = z_c
49
50     return I
51
52 def aam_I_profil (profildata):
53     '''
54     Regner ut andre arealtreghetsmoment for I-profil

```

```

55 :param profildata: Profildata for et I-profil: [profiltype, bredde flens,
56 tykkelse flens, h yde steg, tykkelse steg]
57 :return: areal treghetsmomentet
58 '''
59 #H yde og tykkelse p steg
60 h_steg = profildata[3]
61 t_steg = profildata[4]
62 #Bredde og tykkelse p flensene
63 b_flens = profildata[1]
64 t_flens = profildata[2]
65
66 #Avstand fra aralsenteret til flensens arealsenter
67 arm = h_steg/2 + t_flens/2
68
69 #Lokale areal treghetsmoment
70 I_steg = t_steg * h_steg**3 /12
71 I_flens = b_flens * t_flens**3/12
72
73 #Totalt areal treghetsmoment
74 I_total = I_steg + 2*(I_flens + b_flens*t_flens * arm**2)
75
76 return I_total
77
78 def aam_ror_profil(profildata):
79     '''
80     Regner ut andre arealtreghetsmoment for r r -profil.
81     :param profildata: Profildata for et r r -profil: [profiltype, Ytre radius,
82 tykkelse r r , 0, 0]
83 :return: areal treghetsmoment
84 '''
85 #Ytre radius
86 R = profildata[1]
87 #Indre radius
88 r = R - profildata[2]
89
90 # Bruker formel for tykkvegget ror
91 I_total = (np.pi / 4) * (R**4 - r**4)
92
93 return I_total

```

A.8 lengder.py

```

1 def lengder(punkter, elementer, n_elem):
2     '''
3     Itererer gjennom alle elementene
4     :param punkter: Liste over alle punktene med punktenes koordinater (fra
5     inputfil)
6     :param elementer: Liste over alle elementene med indeks p de lokale endene (
7     fra inputfil)
8     :param n_elem: Antall elementer
9     :return: Liste over alle elementlengdene sortert etter elementindeks
10    '''
11    elementlengder = np.zeros((n_elem))
12
13    # Beregner elementlengder med Pythagoras' l resetning
14    for i in range(0, n_elem):
15        # OBS! Grunnet indekseringssyntax i Python-arrays vil ikke denne funksjonen
16        fungere naar vi bare har ett element.
17        dx = punkter[elementer[i, 0], 0] - punkter[elementer[i, 1], 0]
18        dy = punkter[elementer[i, 0], 1] - punkter[elementer[i, 1], 1]
19
20        elementlengder[i] = np.sqrt(dx * dx + dy * dy)
21    return elementlengder

```

A.9 dimensjoner_fordeltlast.py

```

1 def dimensjoner_fordeltlast(profildata, laster, elementer):
2     '''

```

```

3   Regner riktig størrelse på de fordelte lastene basert på at de er
   proporsjonale med bjelkenes diameter (Gitt i oppgaven)
4   :param profildata: Liste over profildata for alle elementene sortert etter
   elementnummer
5   :param laster: liste over alle lastene
6   :return: liste over lastene med riktig størrelse på de fordelte lastene
7   '''
8   # itererer gjennom hver last i lastlisten
9   for last in laster:
10      # Sjekker om lasten er en fordelt last
11      if last[0] == 2:
12          # Finner index til elementet lasten virker på
13          elem_nr = int(last[1])
14          elem = elementer[elem_nr]
15
16          # Finner index til profilet som tilhører elementet
17          profil_nr = index_profildata(elem, profildata)
18          profil = profildata[profil_nr]
19
20          # Kraftstørrelsene er dimensjonert for diameter på 1m
21          # F_1 er kraften i lokal ende 1, F_2 i lokal ende 2
22          F_1 = last[2]
23          F_2 = last[3]
24
25          # I profildata er dimensjonene lagret som ytre diameter og m dobles
26          D = profil[1] * 2
27
28          last[2] = F_1 * D
29          last[3] = F_2 * D
30
31      return laster

```

A.10 index_profildata.py

```

1   def index_profildata(element, profildata_liste):
2       '''
3       Tar inn et element og en liste med profiler, finner profilet som hører til
   elementet og returnerer indeksen.
4       :param element: Valg element
5       :param profildata_liste: Liste over profilene
6       :return: Indeksen for elementets profil i profildata_liste
7       '''
8       type_profil = element[3]
9       for i in range(len(profildata_liste)):
10          if type_profil == profildata_liste[i][0]:
11              return i

```

A.11 fastinnspenningskrefter.py

```

1   def fastinnspenningskrefter (elem_list, laster):
2       '''
3       Itererer gjennom lastene, regner ut fastinnspenningskrefter og lagrer i riktig
   Element.
4       :param elem_list: Liste over alle Element-objektene
5       :param laster: Liste over alle lastene
6       '''
7       #Itererer gjennom hver last i listen "laster"
8       for last in laster:
9          #Lagrer indeksen til elementet lasten virker på og finner riktig Element-
   objekt
10          elem_nr = int(last[1])
11          elem = elem_list[elem_nr]
12
13          #Elementlengden
14          l = elem.L
15
16          #Rotasjon, antar vinkelrett på elementet ved rotasjon = 0
17          rot = np.cos(np.deg2rad( last[4]))

```

```

18
19     #Lokal kraft i lokal ende 1 og 2
20     F_1 = last[2] * rot
21     F_2 = last[3] * rot
22
23
24     type_last = last[0]
25
26     #Sjekker om det er en punktlast
27     if type_last == 1:
28         #avstandskonstant
29         a = last[5] * l
30         b = l - a
31
32         #Regner fastinnspenningsmoment i lokal ende 1 og 2 (gir 0 dersom
punktlasten virker i et knutepunkt)
33         m_1 = (F_1 * a * b**2)/l**2
34         m_2 = - (F_1 * b * a**2)/l**2
35
36         #Regner ut fastinnspenningsskjerkraft i lokal ende 2 og 1
37         q_2 = (m_2/l) + (m_1/l) - (F_1*a)/l
38         q_1 = -F_1 - q_2
39
40         #Fastinnspenningskrefter
41         fik = np.zeros((6, 1))
42         fik[1] += q_1
43         fik[2] += m_1
44         fik[4] += q_2
45         fik[5] += m_2
46
47         #Legger til fastinnspenningskreftene til elementets fik, men ikke
dersom punktlasten virker direkte i et knutepunkt.
48         if a!=0 and b!=0:
49             elem.fik = elem.fik + fik
50
51         #Legger til den negative av fastinnspenningskreften inn i elementets
lastvektor
52         elem.lokal_lastvektor = elem.lokal_lastvektor - fik
53
54         #Fordelte laster:
55         elif type_last == 2:
56
57             #Lagrer den fordelte lasten til elementet
58             elem.laster = last
59
60             #Regner fastinnspenningsmomentene basert p at det virker to
uavhengige line re trekantlaster
61             m1_F1 = 1 / 20 * F_1 * l ** 2
62             m2_F1 = -1 / 30 * F_1 * l ** 2
63             m1_F2 = 1 / 30 * F_2 * l ** 2
64             m2_F2 = -1 / 20 * F_2 * l ** 2
65
66             #Legger sammen resultatene for "begge" lastene F_1 og F_2
67             m_1 = m1_F1 + m1_F2
68             m_2 = m2_F1 + m2_F2
69
70             #Fastinnspenningsskjerkraft
71             q_1 = -(7 / 20 * F_1 + 3 / 20 * F_2) * l
72             q_2 = -(3 / 20 * F_1 + 7 / 20 * F_2) * l
73
74             #Fastinnspennings-vektor
75             fik = np.zeros((6,1))
76             fik[1] += q_1
77             fik[2] += m_1
78             fik[4] += q_2
79             fik[5] += m_2
80
81             #Lagrer til elementet
82             elem.fik = elem.fik + fik
83
84             #Lagrer lastvektoren som den negative av fastinnspenningsvektoren
85             elem.lokal_lastvektor = elem.lokal_lastvektor - elem.fik

```

A.12 lastvektor.py

```
1 def lastvektor_funk(n_punkter, element_liste):
2     '''
3     Lager den globale lastvektoren
4     :param n_punkter: Antall punkter
5     :param element_liste: Liste over alle Element-objektene
6     :return: Global lastvektor
7     '''
8     lastvektor = np.zeros((3*n_punkter,1))
9     n_elem = len(element_liste)
10
11
12     for i in range(n_elem):
13         elem = element_liste[i]
14
15         #Lokale ender
16         ende_1 = elem.ende_1
17         ende_2 = elem.ende_2
18
19         #Transformasjonsmatrise
20         T = elem.T
21         #Lokal lastvektor
22         lvek = elem.lokal_lastvektor
23
24         #Lokal lastvektor trasformenrt til globalt koordinatsystem
25         global_lvek = np.dot(T, lvek)
26
27         #Legger til Lokal lastvektor til
28         lastvektor[ende_1*3:3*ende_1+3] += global_lvek[:3]
29         lastvektor[ende_2*3:3*ende_2+3] += global_lvek[3:]
30
31
32
33     return lastvektor
```

A.13 lokal.k.py

```
1 def lokal_k (element, A,I , lengde ):
2     '''
3
4     :param element: Elementliste med elastisitetsmodul i kolonne 3 (index 2)
5     :param profil: profildata til valgt element
6     :param I: andre arealmoment for valgt element
7     :param lengde: elementlengden
8     :return: lokal stivhetsmatrise, k, 6x6
9     '''
10
11     #Elastisitetsmodul og elementlengde
12     E = element[2]
13     L = lengde
14
15     #Regner ut konstanter f r det legges inn i matrisen
16     EA_L = E*A/L
17     EI = E*I
18
19     #Oppretter 6x6 matrise
20     lokal_k = np.zeros((6, 6))
21
22     for i in range(6):
23         #a: fortegnskonstant
24         a = 1
25
26         #Setter fortegnskonstanten lik -1 dersom i er st rre enn 2
27         if i>2: a = -1
28
29         #Legger til verdiene i lokal_k-matrisen. Hver linje legger til 2 steder i
30         #matrisen
31         if i == 0 or i == 3:
32             lokal_k[0][i] = a * EA_L
```

```

32     lokal_k[3][i] = -a * EA_L
33     elif i == 1 or i == 4:
34         lokal_k[1][i] = a * 12 * EI / L ** 3
35         lokal_k[2][i] = -a * 6 * EI / L ** 2
36         lokal_k[4][i] = -a * 12 * EI / L ** 3
37         lokal_k[5][i] = -a * 6 * EI / L ** 2
38     else:
39         lokal_k[1][i] = -6 * EI / L ** 2
40         lokal_k[4][i] = 6 * EI / L ** 2
41         lokal_k[i][i] = 4 * EI / L
42         lokal_k[i][i + a * 3] = 2 * EI / L
43
44     return lokal_k

```

A.14 system_stivhetsmatrise.py

```

1  def system_stivhetsmatrise( element_liste, n_punkt):
2      '''
3      Lager den globale system stivhetsmatrisen
4      :param element_liste: Liste over Element-objektene
5      :param n_punkt: Antall punkter
6      :return: System stivhetsmatrise
7      '''
8      #Lager system stivhetsmatrisen for antallet frihetsgrader
9      K = np.zeros((n_punkt * 3, n_punkt * 3))
10     n_elem = len(element_liste)
11
12     for i in range(n_elem):
13         #Element-objektet
14         elem = element_liste[i]
15         #Lokal stivhetsmatrise rotert til globalt koordinatsystem
16         k_glob = elem.k_global
17
18         #Legger til k_glob i system stivhetsmatrisene, K
19         K = legg_til_K(elem,k_glob, K)
20
21     return K
22
23
24
25 def legg_til_K (element, global_k , K):
26     '''
27     Legger til lokal stivhetsmatrise (som er rotert til globalt koordinatsystem)
28     :param element: Element-objektet
29     :param global_k: Lokal stivhetsmatrise (som er rotert til globalt
30     koordinatsystem)
31     :param K: System stivhetsmatrise
32     :return: System stivhetsmatrisen K, med global_k lagt inn
33     '''
34     #lokal ende :
35     lokal_ende_1 = element.ende_1
36     lokal_ende_2 = element.ende_2
37
38     #global ende
39     global_ende_1 = 3* lokal_ende_1
40     global_ende_2 = 3* lokal_ende_2
41
42     for i in range(6):
43         for j in range(6):
44             # Finner riktig index for system stivhetsmatrisen
45             if i >= 0 and i < 3 : rad = global_ende_1 + i
46             else: rad = global_ende_2 + i-3
47
48             if j >= 0 and j < 3 : col = global_ende_1 + j
49             else: col = global_ende_2 + j-3
50
51             input = global_k[i][j]
52             K[rad][col] += input
53
54

```

```
55     return K
```

A.15 transformasjon.py

```
1  def transformasjon(element, punkter, lengde):
2      '''
3      Lager transformasjonsmatrisen for et gitt element ved      regne vinkel mellom
4      lokalt koordinatsystem og det globale.
5      :param element: elementet (som fra inputfilen)
6      :param punkter: Liste over alle punkter
7      :param lengde: Lengde p elementet
8      :return: Transformasjonsmatrisen
9      '''
10     #Punktdataen til elementets punkter
11     punkt_1 = punkter[element[0]]
12     punkt_2 = punkter[element[1]]
13     #Elementlengden
14     l = lengde
15
16     #Koordinat til lokal ende (punkt)
17     x_1 = punkt_1[0]
18     x_2 = punkt_2[0]
19     y_1 = punkt_1[1]
20     y_2 = punkt_2[1]
21
22     #Avstand mellom punktenes y-koordinater - dy og x-koordinater - dx
23     dy = y_2 - y_1
24     dx = x_2 - x_1
25     # Vinkel i radianer
26
27     #Transformasjonsmatrise
28     t = np.zeros((2, 2))
29     T = np.zeros((6,6))
30
31     #cos (vinkel)= dx/l
32     #sin(vinkel) = dy/l
33     t[0][0] = dx / l
34     t[0][1] = -dy / l
35     t[1][0] = dy / l
36     t[1][1] = dx / l
37
38     #Setter opp den lokale transformasjonsmatrisen
39     T[2][2] = T[5][5] = 1
40     for i in range(2):
41         for j in range(2):
42             T[i][j] = T[i + 3][j + 3] = t[i][j]
43
44     return T
```

A.16 deformasjoner.py

```
1  def lokal_deform (elem_liste, deformasjoner):
2      '''
3      Tar inn liste med alle Element-objektene, og deformasjons-vektoren. Itererer
4      gjennom alle elementene og finner
5      deformasjonene som h rer til elemetets punkter. Transformerer deformasjonene
6      til lokalt koordinatsystem og lagrer
7      til elementet
8      :param elem_liste: Liste med alle Element-objektene
9      :param deformasjoner: Liste over alle deformasjoner (og rotasjoner) for
10     knutepunktene i forhold til globalt koordinatsystem
11     '''
12     for i in range(len(elem_liste)):
13         #Element-objektet
14         elem = elem_liste[i]
15         #Transformasjonsmatrise
16         T = elem.T
```



```

14
15     #Lokale ender
16     ende1 = elem.ende_1
17     ende2 = elem.ende_2
18
19     #Indeks til de lokale endene i lastvektoren
20     pkt1 = ende1*3
21     pkt2 = ende2*3
22
23     #Henter ut deformasjonene for elementets punkter
24     def_1 = deformasjoner[pkt1:pkt1+3]
25     def_2 = deformasjoner[pkt2:pkt2+3]
26
27     #Slår sammen deformasjoner for begge punkter til en vektor/liste
28     lok_def = np.zeros((6,1))
29     lok_def[0:3] = def_1
30     lok_def[3:] = def_2
31
32     #Lagrer til elementet
33     elem.deformasjoner = np.linalg.solve(T, lok_def)
34
35
36 def deformasjoner (K, lastvektor):
37     '''
38     Regner deformasjonene for systemet
39     :param K: System stivhetsmatrise
40     :param lastvektor: System/global lastvektor
41     :return: Deformasjoner (og rotasjoner)
42     '''
43     d = np.linalg.solve(K, lastvektor)
44     return d

```

A.17 randbetingelser.py

```

1 def randbetingelser (n_punkter, punkter, K, last_vektor):
2     '''
3     Innfører en høy fjerstivhet i diagonalen p system stivhetsmatrisen i alle
4     frihetsgradene til punktene som er
5     fast innspent
6     :param n_punkter: Antall punkter
7     :param punkter: Liste over alle punktene
8     :param K: System stivhetsmatrisen
9     :param last_vektor: Global lastvektor
10    :return: System stivhetsmatrisen, K, og lastvektoren med innført
11    randbetingelser
12    '''
13    #ittererer gjennom alle frihetsgradene
14    for i in range(n_punkter*3):
15        # Heltallsdivisjon finne element nummeret
16        elem_nr = i//3
17
18        #sjekker om punktet er fast innspent (=1)
19        if punkter[elem_nr][2] == 1:
20
21            #Legger til fjerstivhet
22            K[i][i] = K[i][i]+10e8
23
24            #Setter lastvektoren til frihetsgraden lik null
25            last_vektor[i] = 0
26
27    return K, last_vektor

```

A.18 el_krefter.py

```

1 def el_krefter (elem_liste ):
2     '''
3     Regner ut element-kreftene

```

```

4 :param elem_liste: liste over Element-objektene
5 '''
6
7 for i in range(len(elem_liste)):
8     #Element-objektet
9     elem = elem_liste[i]
10
11     #Lokale deformasjoner
12     v = elem.deformasjoner
13     #Lokal stivhetsmatrise for lokalt koordinatsystem
14     k = elem.k_lokal
15     # Lokal fastinnspenningskrefter
16     fik = elem.fik
17
18     #Regner ut kreftene
19     S = k.dot(v) + fik
20
21     #Lagrer kreftene til elementet
22     elem.krefter = S

```

A.19 midtmoment.py

```

1 def midt_moment(elem_list, ):
2
3
4     for i in range(len(elem_list)):
5         elem = elem_list[i]
6         krefter = elem.krefter
7         last = elem.laster
8         l = elem.L
9
10        m_1 = krefter[2][0]
11        m_2 = krefter[5][0]
12        q_1 = krefter[1][0]
13        q_2 = krefter[4][0]
14
15        m_m = 0
16        q_m = 0
17
18
19
20        if len(last)==0:
21            m_2 = m_2*-1
22            m_m +=( m_1 + m_2 )/2
23            q_m += (q_2 - q_1) /2
24
25        else:
26            if last[0] == 2:
27                F_2 = last[3]
28                F_1 = last[2]
29                dF = (F_2 - F_1) / 2
30                if F_2==F_1:
31                    m_m += F_1 * l ** 2 / 8 - q_1 * l / 2
32                    q_m = q_1 - F_1 * l / 2
33                elif F_1>F_2:
34                    m_m = m_2 - q_2 * l / 2 + F_2 * l ** 2 / 8 - dF * l ** 2 / 24
35                    q_m = q_1 - F_1 * l / 2 - dF * l / 4
36                else:
37                    m_m = m_1 + q_1 * l / 2 - F_1 * l ** 2 / 8 - dF * l ** 2 / 24
38                    q_m = q_1 - F_1 * l / 2 - dF * l / 4
39
40        elem.M_midt = m_m
41        elem.Q_midt = q_m
42
43
44
45 def mom(elem_list, laster):
46     for l in laster:
47         if l[0]==2:
48             elem_nr = int(l[1])
49             e = elem_list[elem_nr]

```

```

50     F_1 = l[2]
51     F_2 = l[3]
52     l = e.L
53     endemom = e.krefter[2::3]
54     skjer = e.krefter[1::3]
55
56     if F_1 == F_2:
57         m_m = (-F_1 * l**2)/8
58         e.M_midt -= m_m
59     else:
60         m_1 = F_1 * l**2/48
61         m_2 = F_2 * l**2 * 5/48
62         m_3 = endemom[1][0]
63         m_4 = skjer[1][0]
64         m_m = m_1 + m_2 + m_3 - m_4
65         e.M_midt = m_m

```

A.20 maks_boyesspenning.py

```

1  def maks_boyesspenning(elem_list):
2      '''
3      OBS! Regner feil!
4      Regner boyesspenning i p midten og i hver ende av hvert element. Lagrer den
5      absolutte største spenningen til elementet.
6      :param elem_list: Liste over Element-objektene
7      '''
8
9      for e in elem_list:
10         #Areal
11         A = e.A
12         #Andre arealtregningsmoment
13         I = e.I
14         #Avstand til arealsenter i tverrsnittet
15         z_c = e.z_c
16
17         #Moment p midten
18         M_midt = e.M_midt
19         #Elementkreftene
20         krefter = e.krefter
21         #Normal og Momentkreftene
22         N = krefter[0][0]
23         M = krefter[2::3]
24
25         #Utregning av boyesspenning
26         sigma_1 = N/A + M[0][0]/I * z_c
27         sigma_2 = N/A + M[1][0]/I * z_c
28         #Noe feil med utregningen av midt moment
29         sigma_m = 0 #N/A + M_midt/I * z_c
30
31         #sjekker hvilken som er absolutt størst
32         sigma_max = max(abs(sigma_m), abs(sigma_1), abs(sigma_2))
33
34         #Lagrer til elementet
35         e.sigma_max = sigma_max/1e6
36
37  def prosent_av_flyt(flytspenning, elem_list):
38      '''
39      Regner boyesspenningen i prosent av gitt flytspenning, og lagrer til elementet
40      :param flytspenning:
41      :param elem_list: liste over Element-objektene
42      '''
43      fy = flytspenning
44
45      for e in elem_list:
46         maks_spenning = e.sigma_max
47         prosent = maks_spenning / fy * 100
48
49         #Lagrer prosenten av flyt i elementet med en desimal
50         e.prosent_av_flyt = round(prosent, 1)

```

A.21 printfunksjoner.py

```
1 def print_deformasjoner(rot, x_def, y_def, n_punkter):
2     deformasjoner = PrettyTable()
3
4     deformasjoner.field_names = ["Knutepunkt", "X-forskyvning", "Y-forskyvning", "
5     Rotasjon"]
6     for i in range(n_punkter):
7         deformasjoner.add_row([i, round(x_def[i][0],5), round(y_def[i][0], 5),
8         round(rot[i][0],5)/1e3])
9         deformasjoner.align = 'r'
10    print(deformasjoner)
11
12 def print_knutepunktskrefter(elem_liste):
13     krefter = PrettyTable()
14     krefter.field_names = ["Element", "N_1", "Q_1", "M_1", "N_2", "Q_2", "M_2 "]
15     for i in range(len(elem_liste)):
16         e = elem_liste[i]
17         kr = e.krefter/ 1e3
18         k = np.around(kr, 1)
19         krefter.add_row([i,k[0][0],k[1][0],k[2][0],k[3][0],k[4][0],k[5][0] ])
20
21         krefter.align = 'r'
22     print(krefter)
23
24 def print_opplager(elem_liste, punkter):
25     opplager = PrettyTable()
26     opplager.field_names= ["Knutepunkt", "N [kN]", "Q [kN]", "M [kNm]"]
27     for i in range(len(punkter)):
28         punkt = punkter[i]
29
30         N = 0
31         Q = 0
32         M = 0
33         if punkt[2] ==1:
34             for e in elem_liste:
35                 krefter = np.zeros((3,1))
36                 if e.ende_1 == i:
37                     krefter = e.krefter[:3]
38                 elif e.ende_2 ==i:
39                     krefter = e.krefter[3:]
40                 N += krefter[0][0]
41                 Q += krefter[1][0]
42                 M += krefter[2][0]
43
44         opplager.add_row([i, round(N/1e3, 2),round( Q/1e3, 2),round( M/1e3, 2)
45         ])
46     print(opplager)
47
48 def print_M ( elem_list):
49     midt_m = PrettyTable( )
50     midt_m.field_names = ["Element", "M 1 [kNm]", "M midt [kNm]", "M 2[kNm]"]
51     for i in range(len(elem_list)):
52         e = elem_list[i]
53         moment = e.krefter[2::3]/1e3
54         M_midt = e.M_midt/1e3
55
56         midt_m.add_row([i, round(moment[0][0], 1), round(M_midt,1), round( moment
57         [1][0], 1)])
58     print(midt_m)
59
60 def print_Q ( elem_list):
61     midt_q = PrettyTable( )
62     midt_q.field_names = ["Element", "Q 1 [kN]", "Q midt [kN]", "Q 2[kN]"]
63     for i in range(len(elem_list)):
64         e = elem_list[i]
65         skjær = e.krefter[1::3]/1e3
66         Q_midt = e.Q_midt /1e3
67
68         midt_q.add_row([i, round(skjær[0][0], 1), round(Q_midt, 1),round( skjær
69         [1][0], 1)])
70     print(midt_q)
```

```

67
68 def print_maks_boyespenning(elem_list, flytspenning):
69     sigma = PrettyTable()
70     sigma.field_names = ["Element nummer", "Maks boyespenning", "Prosent av flyt =
    " + str(flytspenning) + "MPa"]
71     for i in range(len(elem_list)):
72         e = elem_list[i]
73         sigma.add_row([i, round(e.sigma_max, 1), str(e.prosent_av_flyt) + "%"])
74     print(sigma)

```

A.22 structure_visualization.py

```

1  def setup_plots():
2      fig_init, ax_init = plt.subplots()
3      fig_def, ax_def = plt.subplots()
4      ax_init.set_title('Initialramme')
5      ax_def.set_title('Deformert ramme')
6      ax_init.axes.set_aspect('equal')
7      ax_def.axes.set_aspect('equal')
8      return fig_init, ax_init, fig_def, ax_def
9
10
11 def plot_structure(ax, punkt, elem, numbers, index_start):
12     # This is a translation of the original function written by Josef Kiendl in
13     # Matlab
14     # It has been slightly modified in order to be used in TMR4176
15
16     # This function plots the beam structure defined by nodes and elements
17     # The bool (0 or 1) 'numbers' decides if node and element numbers are plotted
18     # or not
19
20     # Change input to the correct format
21     nodes = np.array(punkt[:, 0:2], copy=1, dtype=int)
22     el_nod = np.array(elem[:, 0:2], copy=1, dtype=int) + 1
23
24     # Start plotting part
25     for iel in range(0, el_nod.shape[0]):
26         # Plot element
27         ax.plot([nodes[el_nod[iel, 0] - 1, 0], nodes[el_nod[iel, 1] - 1, 0]],
28                 [nodes[el_nod[iel, 0] - 1, 1], nodes[el_nod[iel, 1] - 1, 1]], '-k',
29                 linewidth=2)
30
31         if numbers == 1:
32             # Plot element numbers. These are not plotted in the midpoint to
33             # avoid number superposition when elements cross in the middle
34             ax.text(nodes[el_nod[iel, 0] - 1, 0] + (nodes[el_nod[iel, 1] - 1, 0] -
35                 nodes[el_nod[iel, 0] - 1, 0]) / 2.5,
36                     nodes[el_nod[iel, 0] - 1, 1] + (nodes[el_nod[iel, 1] - 1, 1] -
37                 nodes[el_nod[iel, 0] - 1, 1]) / 2.5,
38                     str(iel + index_start), color='blue', fontsize=16)
39
40         if numbers == 1:
41             # Plot node number
42             for inod in range(0, nodes.shape[0]):
43                 ax.text(nodes[inod, 0], nodes[inod, 1], str(inod + index_start), color=
44                 'red', fontsize=16)
45
46 def plot_structure_def(ax, punkt, elem, numbers, index_start, r):
47     # This is a translation of the original function written by Josef Kiendl in
48     # Matlab
49     # This function plots the deformed beam structure defined by nodes and elements
50     # The bool (0 or 1) 'numbers' decides if node and element numbers are plotted
51     # or not
52
53     # Change input to the correct format
54     nodes = np.array(punkt[:, 0:2], copy=1, dtype=int)
55     el_nod = np.array(elem[:, 0:2], copy=1, dtype=int) + 1
56     nod_dof = np.arange(1, nodes.shape[0] + 1, 1, dtype=int)
57
58     if numbers == 1:

```

```

52     # Plot node number
53     for inod in range(0, nodes.shape[0]):
54         ax.text(nodes[inod, 0], nodes[inod, 1], str(inod + index_start), color=
'red', fontsize=16)
55
56     for iel in range(0, el_nod.shape[0]):
57         delta_x = nodes[el_nod[iel, 1] - 1, 0] - nodes[el_nod[iel, 0] - 1, 0]
58         delta_z = nodes[el_nod[iel, 1] - 1, 1] - nodes[el_nod[iel, 0] - 1, 1]
59         L = np.sqrt(delta_x ** 2 + delta_z ** 2)
60         if delta_z >= 0:
61             psi = np.arccos(delta_x / L)
62         else:
63             psi = -np.arccos(delta_x / L)
64
65         phi = np.zeros((2, 1))
66         for inod in range(0, 2):
67             if nod_dof[el_nod[iel, inod] - 1] > 0:
68                 phi[inod] = r[nod_dof[el_nod[iel, inod] - 1] - 1]
69         x = np.array([0, L])
70         z = np.array([0, 0])
71         xx = np.arange(0, 1.01, 0.01) * L
72         cs = CubicSpline(x, z, bc_type=((1, -phi[0, 0]), (1, -phi[1, 0])))
73         zz = cs(xx)
74
75         # Rotate
76         xxzz = np.array([[np.cos(psi), -np.sin(psi)], [np.sin(psi), np.cos(psi)]])
77         @ np.vstack([xx, zz])
78
79         # Displace
80         xx2 = xxzz[0, :] + nodes[el_nod[iel, 0] - 1, 0]
81         zz2 = xxzz[1, :] + nodes[el_nod[iel, 0] - 1, 1]
82         ax.plot(xx2, zz2, '-k', linewidth=2)
83
84         if numbers == 1:
85             # Plot element numbers. These are not plotted in the midpoint to
86             # avoid number superposition when elements cross in the middle
87             ax.text(xx2[round(xx2.size / 2.5)], zz2[round(xx2.size / 2.5)], str(iel
+ index_start), color='blue',
                    fontsize=16)

```

B Input-filer

B.1 input.txt

```
1 13
2 0 0 1
3 16.5 0 0
4 33 0 1
5 2.5 25 0
6 16.5 25 0
7 30.5 25 0
8 5 50 0
9 16.5 50 0
10 28 50 0
11 7.5 75 0
12 25.5 75 0
13 7.5 93 0
14 25.5 93 0
15 22
16 0 1 210000000 21
17 1 2 210000000 21
18 0 3 210000000 23
19 1 3 210000000 22
20 1 5 210000000 22
21 2 5 210000000 23
22 3 4 210000000 21
23 4 5 210000000 21
24 3 6 210000000 23
25 4 6 210000000 22
26 4 8 210000000 22
27 5 8 210000000 23
28 6 7 210000000 21
29 7 8 210000000 21
30 6 9 210000000 23
31 7 9 210000000 22
32 7 10 210000000 22
33 8 10 210000000 23
34 9 10 210000000 21
35 9 11 70000000 11
36 10 12 70000000 11
37 11 12 70000000 12
38 9
39 1 21 4000000 0 0 0
40 1 21 1000000 0 0 0.5
41 1 21 4000000 0 0 1
42 2 14 540000 180000 0 0
43 2 15 360000 120000 0 0
44 2 16 360000 120000 0 0
45 2 17 540000 180000 0 0
46 2 8 180000 0 0 0
47 2 11 180000 0 0 0
48 5
49 11 0.45 0.027 0.90 0.02
50 12 0.3 0.04 0.65 0.024
51 21 0.4 0.25 0 0
52 22 0.5 0.25 0 0
53 23 0.75 0.15 0 0
54 300
```

B.2 inputforklaring.txt

```
1 #Antall knutepunkt
2 13
3 #x-koordinat, y-koordinat, randbetingelse (0 = fri rotasjon, 1 = null rotasjon)
4 0 0 1
5 16.5 0 0
6 33 0 1
7 2.5 25 0
8 16.5 25 0
9 30.5 25 0
```

```

10 5 50 0
11 16.5 50 0
12 28 50 0
13 7.5 75 0
14 25.5 75 0
15 7.5 93 0
16 25.5 93 0
17 #Antall elementer
18 22
19 #Knutepunkt start, knutepunkt ende, E-modul [MPa], profiltype (1 = IPE, 2 = ror)
20 0 1 2100000000 21
21 1 2 2100000000 21
22 0 3 2100000000 23
23 1 3 2100000000 22
24 1 5 2100000000 22
25 2 5 2100000000 23
26 3 4 2100000000 21
27 4 5 2100000000 21
28 3 6 2100000000 23
29 4 6 2100000000 22
30 4 8 2100000000 22
31 5 8 2100000000 23
32 6 7 2100000000 21
33 7 8 2100000000 21
34 6 9 2100000000 23
35 7 9 2100000000 22
36 7 10 2100000000 22
37 8 10 2100000000 23
38 9 10 2100000000 21
39 9 11 700000000 11
40 10 12 700000000 11
41 11 12 700000000 12
42 #Antall laster
43 9
44 #Type last (1 = punkt, 2 = fordelt), st rrelse last 1, st rrelse last 2 (0 for
    punktlast), rotasjon, avstandskonstant
45 1 21 4000000 0 0 0
46 1 21 1000000 0 0 0.5
47 1 21 4000000 0 0 1
48 2 14 540000 180000 0 0
49 2 15 360000 120000 0 0
50 2 16 360000 120000 0 0
51 2 17 540000 180000 0 0
52 2 8 180000 0 0 0
53 2 11 180000 0 0 0
54 #Antall tverrsnitt
55 5
56 #Type tverrsnitt (1 = IPE, 2 = ror), bredde flens/ytte radius, tykkelse flens/
    tykkelse ror, h yde steg/0 for ror, tykkelse steg/0 for ror
57 11 0.45 0.027 0.90 0.02
58 12 0.3 0.04 0.65 0.024
59 21 0.4 0.25 0 0
60 22 0.5 0.25 0 0
61 23 0.75 0.15 0 0
62 #Flytspenning [MPa]
63 300

```


C Resultatfil

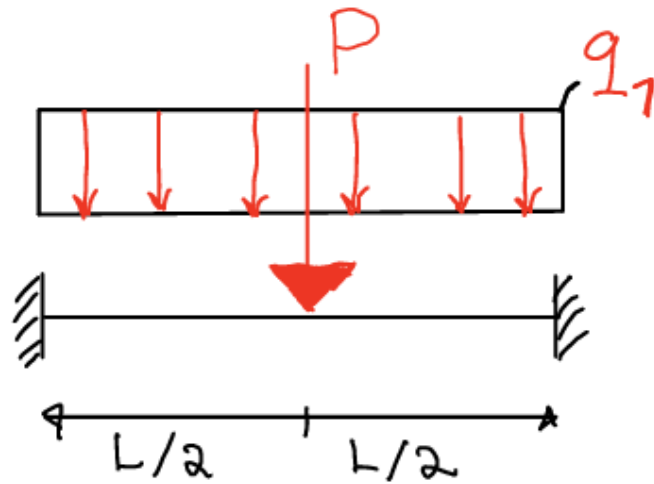
2	Knutepunkt	X-forskyvning	Y-forskyvning	Rotasjon			
4	0	-0.0168	-0.05448	-3.89e-06			
5	1	-2.05336	0.85298	-0.00034677000000000004			
6	2	-0.0177	0.06348	-3.71e-06			
7	3	-28.02097	-7.60121	-0.00160518			
8	4	-29.92251	1.70884	-0.00032276			
9	5	-28.02617	9.3157	-0.00159674000000000001			
10	6	-70.84368	-9.86756	-0.00361255			
11	7	-71.80315	2.56576	-0.00719717			
12	8	-70.83358	13.28788	-0.00352564			
13	9	-107.3558	-7.48661	0.00380945			
14	10	-107.30608	12.61173	0.00353087999999999997			
15	11	-74.46821	19.93049	-0.01781682			
16	12	-73.51126	39.90588	0.01788565			
18							
19	Element	N_1	Q_1	M_1	N_2	Q_2	M_2
21	0	11196.5	22.0	-95.1	-11196.5	-22.0	-267.1
22	1	-11191.6	40.7	-421.8	11191.6	-40.7	-249.7
23	2	54746.1	-160.9	3984.5	-54746.1	160.9	57.2
24	3	-22930.7	5.8	341.3	22930.7	-5.8	-507.6
25	4	22909.6	5.2	347.6	-22909.6	-5.2	-495.6
26	5	-63772.0	-159.5	3957.7	63772.0	159.5	50.6
27	6	12321.1	75.8	-909.4	-12321.1	-75.8	-151.2
28	7	-12287.4	105.5	-362.0	12287.4	-105.5	-1115.2
29	8	34648.4	-1042.9	1359.8	-34648.4	-1218.3	-13032.3
30	9	-29597.1	67.5	226.4	29597.1	-67.5	-2084.3
31	10	29567.4	60.9	286.8	-29567.4	-60.9	-1962.8
32	11	-43665.7	-1066.5	1560.2	43665.7	-1194.7	-12639.4
33	12	7568.5	1623.7	-8046.4	-7568.5	-1623.7	-10626.6
34	13	-7648.1	1663.3	-10885.3	7648.1	-1663.3	-8242.6
35	14	6720.9	-6337.1	23163.0	-6720.9	-2707.8	3491.3
36	15	-12030.9	-3775.8	10859.3	12030.9	-2601.2	-9374.2
37	16	11980.5	-3752.6	10652.6	-11980.5	-2624.4	-9783.5
38	17	-15719.9	-6276.1	22844.9	15719.9	-2768.8	2276.8
39	18	-250.6	-733.8	6667.8	250.6	733.8	6539.7
40	19	-4510.1	147.4	-785.0	4510.1	-147.4	-1867.7
41	20	-4489.9	-147.4	967.0	4489.9	147.4	1685.7
42	21	-147.4	-510.1	1867.7	147.4	-489.9	-1685.7
44							
45	Knutepunkt	N [kN]	Q [kN]	M [kNm]			
47	0	65942.68	-138.92	3889.45			
48	2	-52580.4	-200.23	3707.99			
50							
51	Element	M 1 [kNm]	M midt [kNm]	M 2[kNm]			
53	0	-95.1	86.0	-267.1			
54	1	-421.8	-86.1	-249.7			
55	2	3984.5	1963.7	57.2			
56	3	341.3	424.4	-507.6			
57	4	347.6	421.6	-495.6			
58	5	3957.7	1953.5	50.6			
59	6	-909.4	-379.1	-151.2			
60	7	-362.0	376.6	-1115.2			
61	8	1359.8	-9446.8	-13032.3			
62	9	226.4	1155.3	-2084.3			
63	10	286.8	1124.8	-1962.8			
64	11	1560.2	-9077.5	-12639.4			
65	12	-8046.4	1290.1	-10626.6			
66	13	-10885.3	-1321.4	-8242.6			
67	14	23163.0	25136.7	3491.3			
68	15	10859.3	7347.0	-9374.2			
69	16	10652.6	6960.8	-9783.5			
70	17	22844.9	23983.1	2276.8			
71	18	6667.8	64.1	6539.7			

72	19	-785.0	541.4	-1867.7
73	20	967.0	-359.3	1685.7
74	21	1867.7	1776.7	-1685.7
75				
76				
77	Element	Q 1 [kN]	Q midt [kN]	Q 2[kN]
78				
79	0	22.0	-22.0	-22.0
80	1	40.7	-40.7	-40.7
81	2	-160.9	160.9	160.9
82	3	5.8	-5.8	-5.8
83	4	5.2	-5.2	-5.2
84	5	-159.5	159.5	159.5
85	6	75.8	-75.8	-75.8
86	7	105.5	-105.5	-105.5
87	8	-1042.9	-87.7	-1218.3
88	9	67.5	-67.5	-67.5
89	10	60.9	-60.9	-60.9
90	11	-1066.5	-64.1	-1194.7
91	12	1623.7	-1623.7	-1623.7
92	13	1663.3	-1663.3	-1663.3
93	14	-6337.1	1814.6	-2707.8
94	15	-3775.8	587.3	-2601.2
95	16	-3752.6	564.1	-2624.4
96	17	-6276.1	1753.6	-2768.8
97	18	-733.8	733.8	733.8
98	19	147.4	-147.4	-147.4
99	20	-147.4	147.4	147.4
100	21	-510.1	10.1	-489.9
101				
102				
103	Element nummer	Maks boyespenning	Prosent av flyt	= 300MPa
104				
105	0	24.0	8.0%	
106	1	34.5	11.5%	
107	2	106.4	35.5%	
108	3	44.4	14.8%	
109	4	42.7	14.2%	
110	5	100.0	33.3%	
111	6	25.5	8.5%	
112	7	51.1	17.0%	
113	8	61.4	20.5%	
114	9	72.9	24.3%	
115	10	53.3	17.8%	
116	11	133.2	44.4%	
117	12	198.2	66.1%	
118	13	238.6	79.5%	
119	14	129.0	43.0%	
120	15	122.3	40.8%	
121	16	136.1	45.4%	
122	17	92.1	30.7%	
123	18	134.7	44.9%	
124	19	245.0	81.7%	
125	20	34.5	11.5%	
126	21	196.2	65.4%	
127				

D Hndberegninger

D.1 Testkonstruksjon 1 - fast innspent bjelke

Testkonstruksjon - ①



Løser for følgende:

$$L = 4\text{m}$$

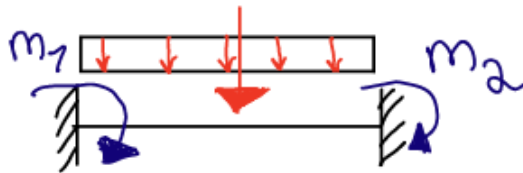
$$P = 100\text{kN}$$

$$q = 10\text{kN/m}$$

Fast innspent bjelke 1 av 4

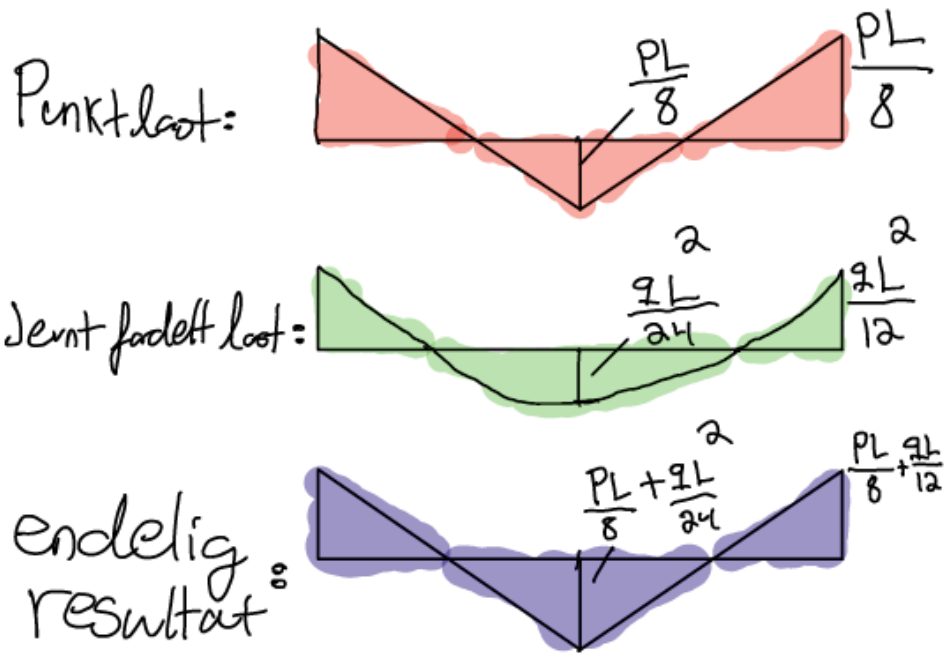
Tar i bruk kjente løsninger
for henholdsvis en bjelke med
en punktlast på midten og en
jevnt fordelt last.

Fasttunningsmoment:



$$\begin{bmatrix} m_1 \\ m_2 \end{bmatrix} = \underbrace{\frac{Pl}{8} \begin{bmatrix} -1 \\ 1 \end{bmatrix}}_{\text{fra punktlast}} + \underbrace{\frac{ql^2}{12} \begin{bmatrix} -1 \\ 1 \end{bmatrix}}_{\text{fra jevnt fordelt last}}$$

$$m_1 = -\frac{Pl}{8} - \frac{ql^2}{12}, \quad m_2 = \frac{Pl}{8} + \frac{ql^2}{12}$$



$$M(0) = -\frac{100 \cdot 4 \text{ m}}{8} - \frac{10 \cdot 4^2}{24} = \underline{-63,3 \text{ kNm}}$$

$$M\left(\frac{L}{4}\right) = \underline{0}$$

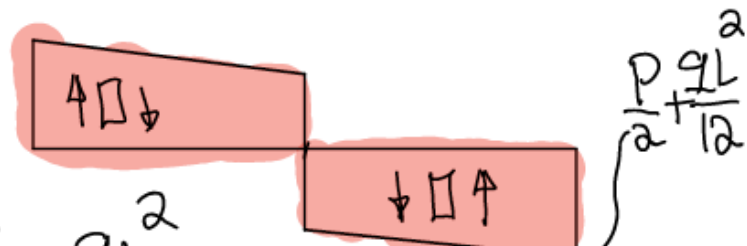
$$M\left(\frac{L}{2}\right) = \frac{100}{8} + \frac{10 \cdot 4^2}{24} = \underline{56,6 \text{ kNm}}$$

$$M\left(\frac{3L}{4}\right) = \underline{0}$$

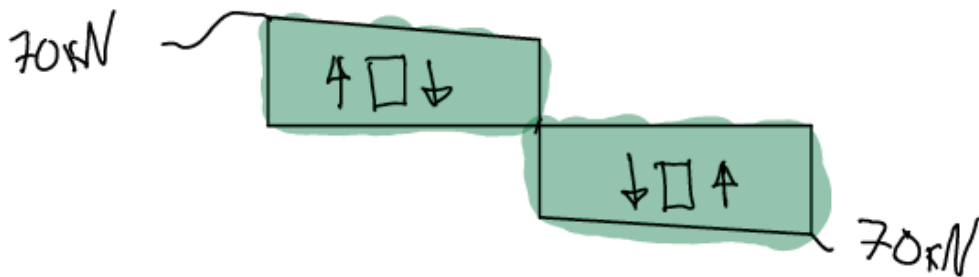
$$M(L) = \underline{63,3 \text{ kNm}}$$

Vi ser bort fra aksialdiagram siden vi har ingen horisontale krefter.

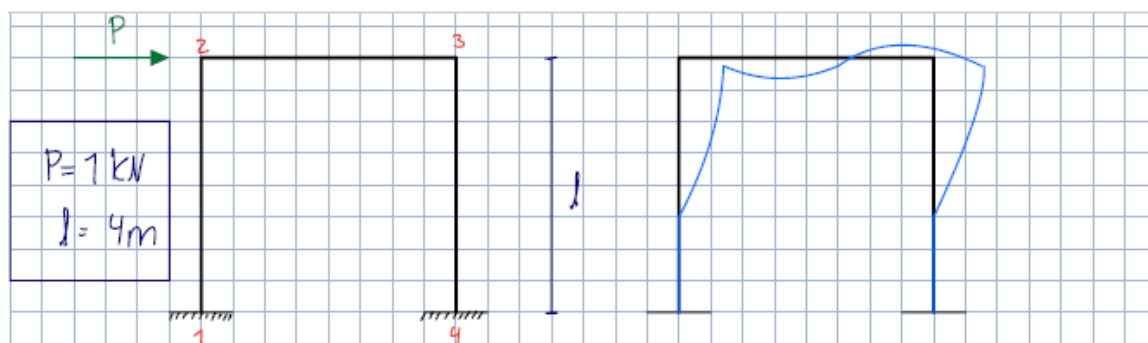
Vi kan regne skjærkraft uha det vi vet om lasttilfellene



$$V(L) = \frac{P}{2} + \frac{qL}{12}$$



D.2 Testkonstruksjon 2 - portalramme



Setter opp de bidragene stivhetsmatrisen til et rammeprogram generelt vil inneholde, for så å stryke det av liten eller ingen betydning.

Vet $\theta_1 = 0$, $w_1 = 0$ i tillegg til at vi ser bort fra aksialdeformasjoner som betyr $u_1 = u_2 = 0$

$$\begin{bmatrix} N_1 \\ Q_1 \\ M_1 \\ N_2 \\ Q_2 \\ M_2 \end{bmatrix} = \begin{bmatrix} \frac{EA}{l} & 0 & 0 & -\frac{EA}{l} & 0 & 0 \\ 0 & \frac{12EI}{l^3} & \frac{6EI}{l^2} & 0 & -\frac{12EI}{l^3} & \frac{6EI}{l^2} \\ 0 & \frac{6EI}{l^2} & \frac{4EI}{l} & 0 & \frac{6EI}{l^2} & \frac{2EI}{l} \\ -\frac{EA}{l} & 0 & 0 & \frac{EA}{l} & 0 & 0 \\ 0 & -\frac{12EI}{l^3} & \frac{6EI}{l^2} & 0 & \frac{12EI}{l^3} & \frac{6EI}{l^2} \\ 0 & \frac{6EI}{l^2} & \frac{2EI}{l} & 0 & \frac{6EI}{l^2} & \frac{4EI}{l} \end{bmatrix} \begin{bmatrix} u_1 \\ w_1 \\ \theta_1 \\ u_2 \\ w_2 \\ \theta_2 \end{bmatrix} + \begin{bmatrix} 0 \\ q_1 \\ m_1 \\ 0 \\ q_2 \\ m_2 \end{bmatrix}$$

$$\begin{bmatrix} Q_1 \\ M_2 \end{bmatrix} = \begin{bmatrix} \frac{12EI}{l^3} & \frac{6EI}{l^2} \\ \frac{6EI}{l^2} & \frac{4EI}{l} \end{bmatrix} \begin{bmatrix} w_2 \\ \theta_2 \end{bmatrix} + \begin{bmatrix} P \\ 0 \end{bmatrix}$$

$$\begin{bmatrix} Q_3 \\ M_3 \end{bmatrix} = \begin{bmatrix} \frac{12EI}{l^3} & \frac{6EI}{l^2} \\ \frac{6EI}{l^2} & \frac{4EI}{l} \end{bmatrix} \begin{bmatrix} w_3 \\ \theta_3 \end{bmatrix}$$

portalramme 1 av 5

$$M_2 = \frac{4EI}{l} \left(\theta_2 + \frac{1}{2} \theta_3 \right)$$

$$M_3 = \frac{4EI}{l} \left(\theta_3 + \frac{1}{2} \theta_2 \right)$$

Hjørne 2:

$$\begin{aligned} \sum M_2 = 0 &\Rightarrow \frac{6EI}{l^2} w_2 + \frac{4EI}{l} \theta_2 + \frac{4EI}{l} \theta_2 + \frac{2EI}{l} \theta_3 \\ &= \frac{6EI}{l^2} w_2 + \frac{8EI}{l} \theta_2 + \frac{2EI}{l} \theta_3 = 0 \end{aligned}$$

Hjørne 3:

$$\begin{aligned} \sum M_3 = 0 &\Rightarrow \frac{6EI}{l^2} w_3 + \frac{4EI}{l} \theta_3 + \frac{4EI}{l} \theta_3 + \frac{2EI}{l} \theta_2 \\ &= \frac{6EI}{l^2} w_3 + \frac{8EI}{l} \theta_3 + \frac{2EI}{l} \theta_2 = 0 \end{aligned}$$

$$\sum Q = 0 \Rightarrow \frac{12EI}{l^3} w_2 + \frac{6EI}{l^2} \theta_2 + \frac{12EI}{l^3} w_3 + \frac{6EI}{l^2} \theta_3 + P = 0$$

$$w_2 = w_3 = w$$

$$\Rightarrow \sum Q = \frac{24EI}{l^3} w + \frac{6EI}{l^2} \theta_2 + \frac{6EI}{l^2} \theta_3$$

$$\begin{bmatrix} \frac{8EI}{l} & \frac{2EI}{l} & \frac{6EI}{l^2} \\ \frac{2EI}{l} & \frac{8EI}{l} & \frac{6EI}{l^2} \\ \frac{6EI}{l^2} & \frac{6EI}{l^2} & \frac{24EI}{l^3} \end{bmatrix} \begin{bmatrix} \theta_2 \\ \theta_3 \\ w \end{bmatrix} = \begin{bmatrix} 0 \\ 0 \\ -P \end{bmatrix}$$

$$\frac{2EI}{l} \begin{bmatrix} 4 & 1 & 3 \\ 1 & 4 & 3 \\ 3 & 3 & 12 \end{bmatrix} \begin{bmatrix} \theta_2 \\ \theta_3 \\ \frac{w}{l} \end{bmatrix} = \begin{bmatrix} 0 \\ 0 \\ -Pl \end{bmatrix}$$

Støkker om på ligningen og får:

$$\frac{2EI}{l} \begin{bmatrix} 12 & 3 & 3 \\ 3 & 4 & 1 \\ 3 & 1 & 4 \end{bmatrix} \begin{bmatrix} \frac{w}{l} \\ \theta_3 \\ \theta_2 \end{bmatrix} = \begin{bmatrix} -Pl \\ 0 \\ 0 \end{bmatrix}$$

$$\left[\begin{array}{ccc|c} 12 & 3 & 3 & -1 \\ 3 & 4 & 1 & 0 \\ 3 & 1 & 4 & 0 \end{array} \right] \sim \left[\begin{array}{ccc|c} 1 & 0 & 0 & -\frac{5}{42} \\ 0 & 1 & 0 & \frac{1}{14} \\ 0 & 0 & 1 & \frac{1}{14} \end{array} \right]$$

$$\frac{2EI}{l} \begin{bmatrix} 1 & 0 & 0 \\ 0 & 1 & 0 \\ 0 & 0 & 1 \end{bmatrix} \begin{bmatrix} \frac{w}{l} \\ \theta_3 \\ \theta_2 \end{bmatrix} = \begin{bmatrix} -\frac{5}{42} \\ \frac{1}{14} \\ \frac{1}{14} \end{bmatrix}$$

$$\begin{bmatrix} \frac{w}{l} \\ \theta_3 \\ \theta_2 \end{bmatrix} = \frac{Pl^2}{2EI} \begin{bmatrix} 1 & 0 & 0 \\ 0 & 1 & 0 \\ 0 & 0 & 1 \end{bmatrix} \begin{bmatrix} -\frac{5}{42} \\ \frac{1}{14} \\ \frac{1}{14} \end{bmatrix}$$

$$w = -\frac{5}{84} \frac{Pl^3}{EI}$$

$$\theta_3 = \frac{Pl}{EI} \cdot \frac{1}{28}$$

$$\theta_2 = \frac{Pl^2}{EI} \cdot \frac{1}{28}$$

$$M_2 = \frac{6EI}{l^2} w_2 + \frac{4EI}{l} \theta_2 = \frac{\cancel{6EI}}{\cancel{l}^2} \cdot -\frac{5}{84} \frac{Pl^3}{EI} + \frac{\cancel{4EI}}{\cancel{l}} \cdot \frac{1}{28} \frac{Pl^2}{EI}$$

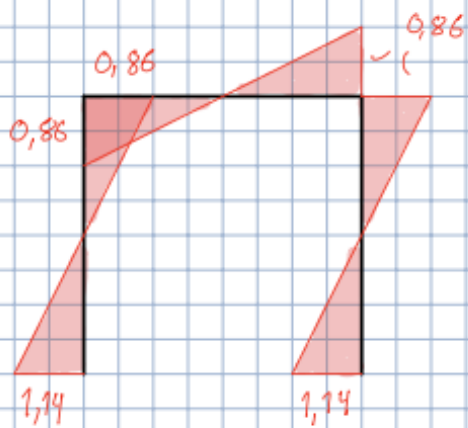
$$= 6 \cdot -\frac{5}{84} Pl + \frac{1}{7} Pl = -\frac{5}{14} Pl + \frac{1}{7} Pl = -\frac{3}{14} Pl = -0,857 \text{ kNm}$$

$$Q_2 = \frac{12EI}{l^3} w_2 + \frac{6EI}{l^2} \theta_2 = \frac{\cancel{12EI}}{\cancel{l}^3} \cdot -\frac{5}{84} \frac{Pl^3}{EI} + \frac{\cancel{6EI}}{\cancel{l}^2} \cdot \frac{1}{28} \frac{Pl^2}{EI}$$

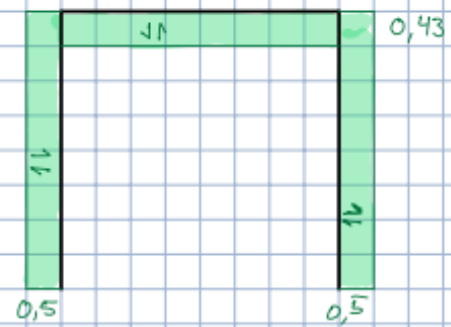
$$= -\frac{5}{7} P + \frac{3}{14} P = \underline{\underline{-\frac{1}{2}}}$$

portalramme 4 av 5

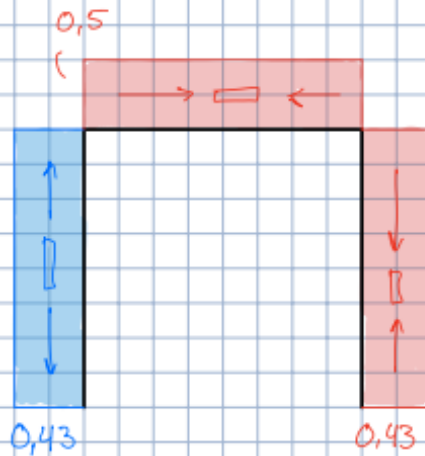
Momentdiagram: $[kNm]$



Skjærdiagram: $[kN]$



Aksialkraft diagram: $[kN]$



E Diagrammer

E.1 Momentdiagram

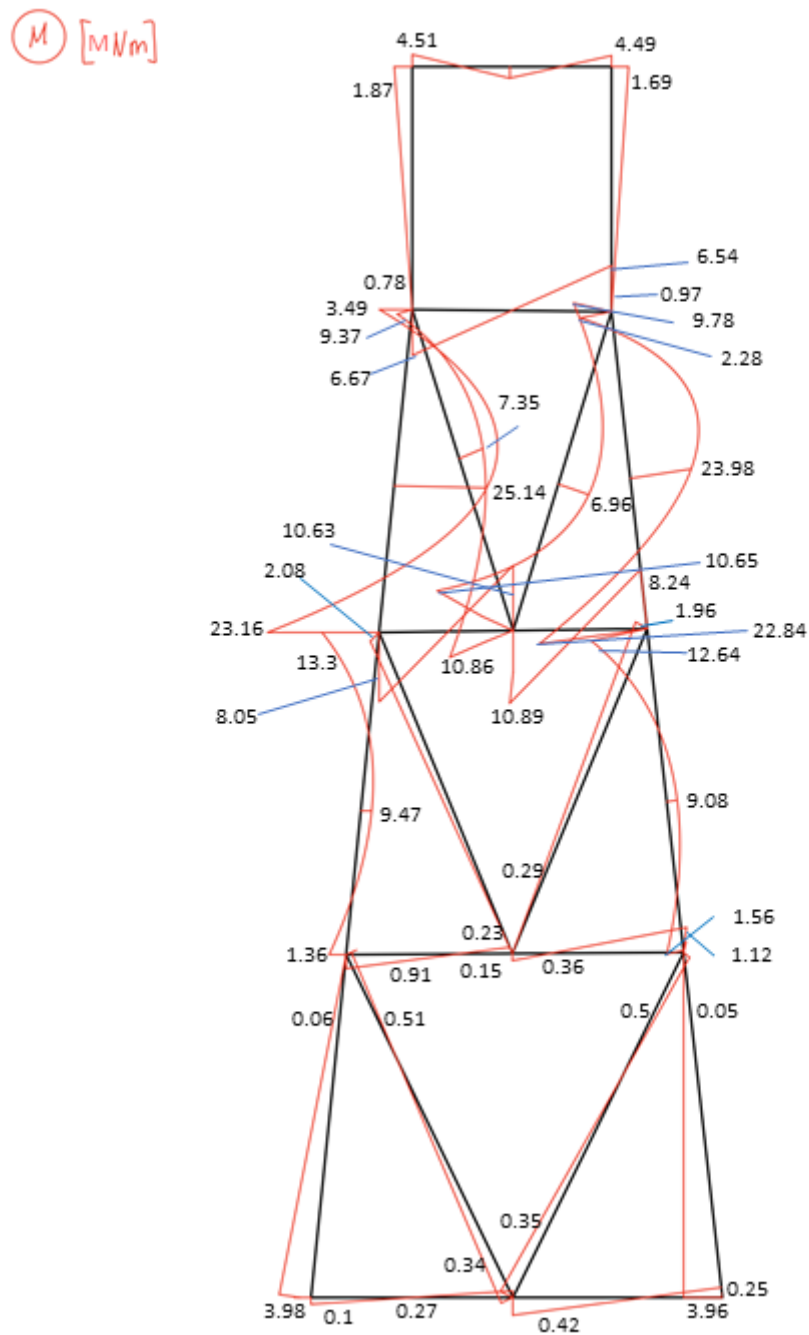


Figure 18: Momentdiagram fra Python-beregninger

E.2 Skjerkraftdiagram

$\bigcirc V$ $[MN]$

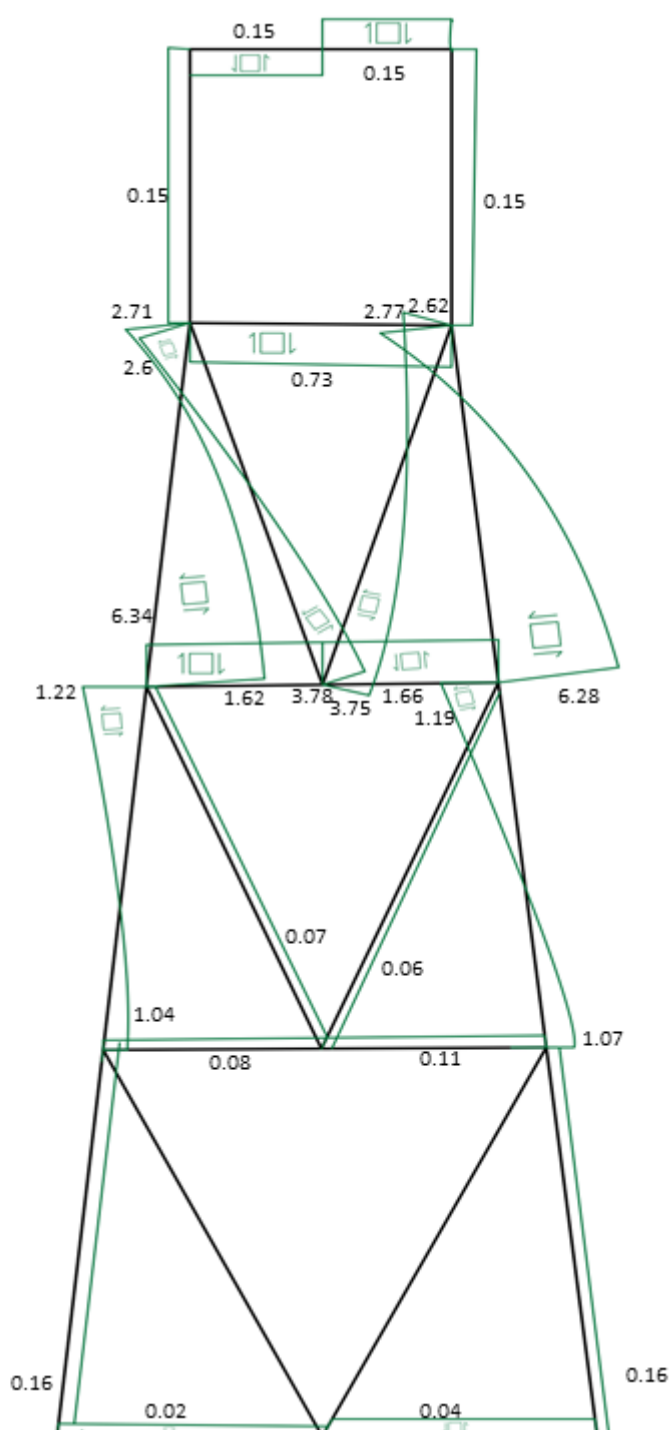


Figure 19: Skjærkraftdiagram fra Python-beregninger

E.3 Aksialkraftdiagram

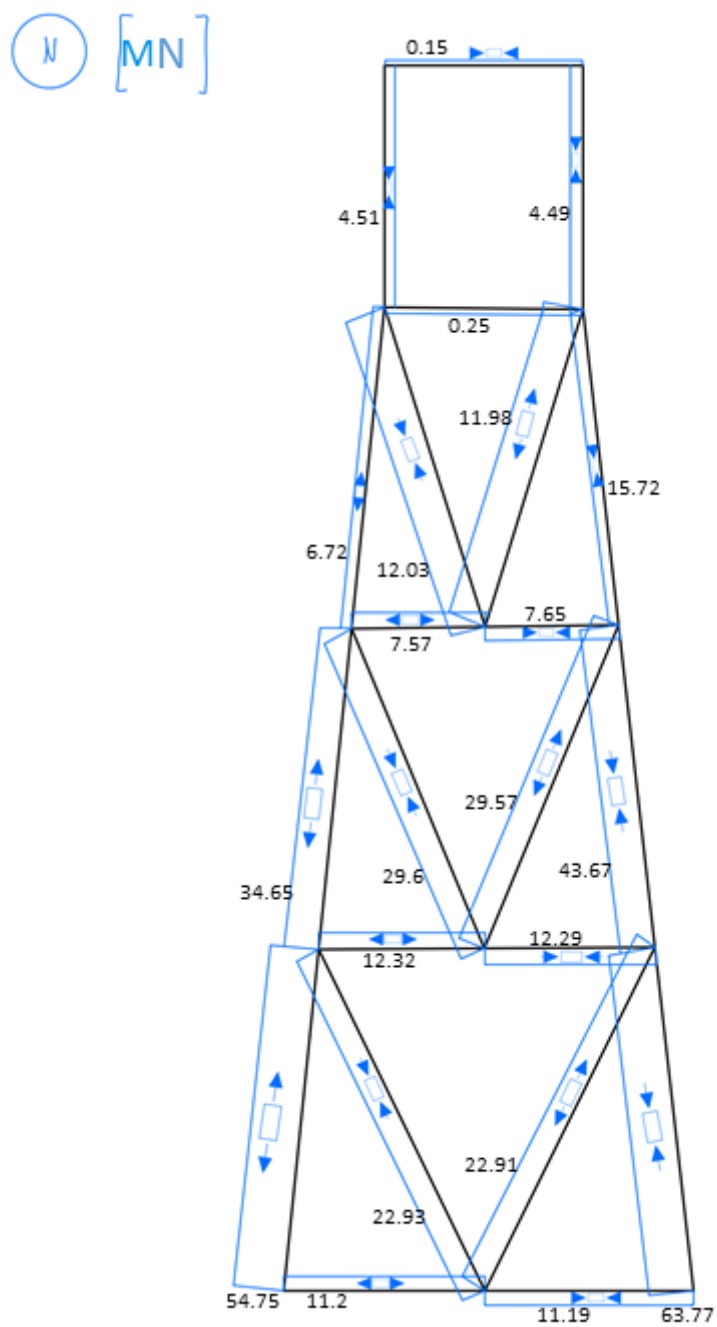


Figure 20: Aksialkraftdiagram fra Python-beregninger

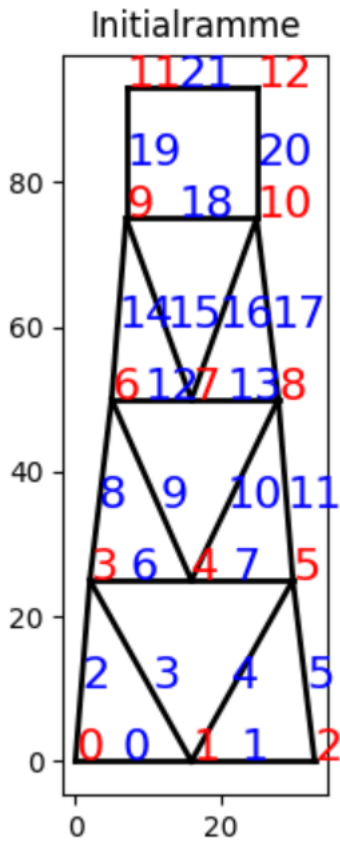


Figure 21: Initialramme Python visualisering

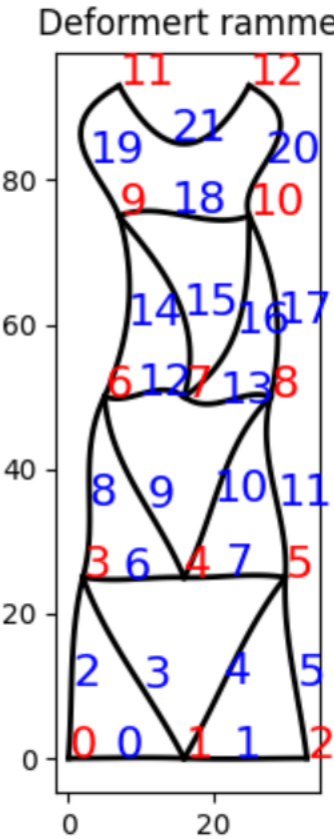


Figure 22: Deformert ramme Python visualisering

F Eksempelramme laster visualisert

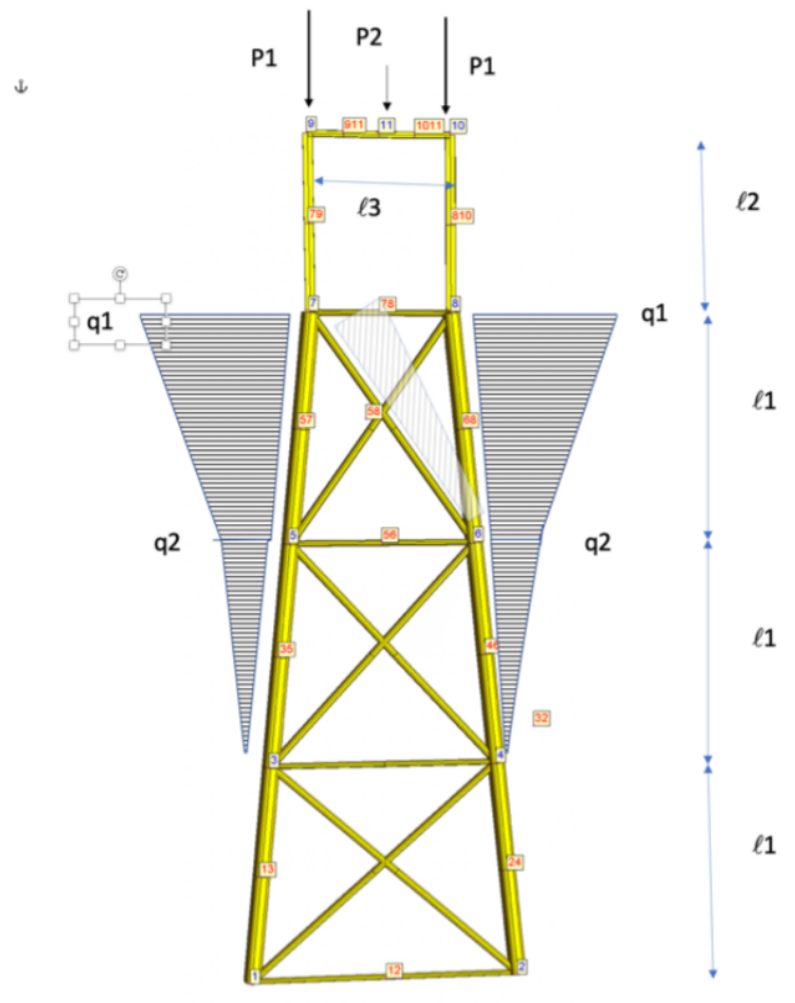


Figure 23: Eksempelramme laster visualisert